

# 孤地和了

**ENVIRONMENTAL SCIENCE** 

ISSN 0250-3301 CODEN HCKHDV HUANJING KEXUE

不同水源补给河流浮游植物群落结构特征及其与环境因子的关系侯颖,李信,白灵,白乙娟,张淑荣,王圣瑞,郑蕾,丁爱中



- 主办 中国科学院生态环境研究中心
- ■出版斜学出版社





2022年12月

第43卷 第 12 期 Vol.43 No.12

## ENVIRONMENTAL SCIENCE

第43卷 第12期 2022年12月15日

# 目 次(卷终)

文中下原政治市即见。到台湾政格局及及影响型的		
深版可愿之代"翻映在野阳、"的化学相应及是凝聚析 "参观",关系",答思"系示、杂音、光重"、主生流、光生,为"高",特天"(1567) 2015—2019—17中 "中国发生,体的有足及其来部解析 是《师·· 在而之、中间、对生死、规则、张生光、彩彩市、场行和(5376) 2015—2019—17中 "中国发生,他们是吴石兴全位势 火炸,王贞、光岭、冷水,河外,朱石。为"线"(5387) 2015—2011—17日 "大田,小小",北京水。主采、《对水》,从外、红龙、《北》(5015—2015—2011—17日 "大田,从市、北京水。主采、《对水》,从外、红水、《北》(5015—2015—2011—17日 "大田,从市、北京水。主采、《对水》,从外、红水、生采、《对水》,从外、经工》,从市、公司、大生、发生、《公司》,从外间以来在见,对水(5027) 基于以现度发物的水。是似处境里生成机断、即时它海化特征识别 扬言中,当对于、水水、大山、河、水水、土山、河、水水、土山、河、水水、土山、河、水水、土山、河、水水、土山、河、水水、土山、河、水水、土山、河、水水、土山、河、水水、土山、河、水水、土山、河、水水、土山、河、水水、土山、河、水水、土山、河、水水、土山、河、水水、土山、山、山、河、水水、土山、山、山、山、山、山、山、山、山、山、山、山、山、山、山、山、山、山	关中平原城市群 PM、时空演变格局及其影响因素 张军、金梓函、王玥、李旭、戴思华(533)	3)
据报而现民大气侧映在静阳,约化学和风及聚卵析 一条关系,美术、美术、大型龙、上型、人生鱼、人生鱼、人生鱼、人生鱼、人生鱼、人生鱼、人生鱼、人生鱼、人生鱼、人生鱼	中原城市群 PM 浓度驱动因子联动效应及非线性影响	4)
据报而现民大气侧映在静阳,约化学和风及聚卵析 一条关系,美术、美术、大型龙、上型、人生鱼、人生鱼、人生鱼、人生鱼、人生鱼、人生鱼、人生鱼、人生鱼、人生鱼、人生鱼	一个分词的 1 m2.5 m2.5 m2.5 m2.5 m2.5 m2.5 m2.5 m2.5	4)
2018—2019 年冬年天非由市员 1942。中全金属形型 教明 中全金属 2019 年冬年、末年、8年、8月、1949、 表明、原业的、多点工作、每个型(5376)	松坊市场时 1·12.5 叶 03 杨及时上升中国 1.0 大型 1.	7)
百歲之性降水中全域溶液 溶解度及其未凝解析	形取甲砜色人(和核理物 $\operatorname{Im}_2$ 5的化于组成及本际肝明 一角风色,吴阳,同丛,中州朝,本已然,飞州夏,上庄从,受州,刁廷风 $(500$ 000 年及 禾王油和丰均 $\operatorname{DM}$ 一由金色层字油株红 巨雄库因松河仏	')
基于政保股稅驗的工产但区域具保牛成机制长期时空族住物社例 然言縣、消斗平、危险、转路、利用平、衰白水(5421)  当州市更季挥发件有机的污染特征及非源解析 杨志宗 陈廷,末允、丹炭、王府鸡、股会生、杨亚丽(5442)  当州市更等理发件有机的污染特征与接触及非源解析 杨志宗 陈廷,末允、丹炭、王府鸡、股会生、杨亚丽(5442)  如果心疗人物验析。正有健康风险评价 为家族 克隆 王原为,王克、郑州、元安、北京、和州、深安人(5464)  多家庭、王州湾、王龙、泉州、平泉之 65464)  少年农 海里、王州湾、民央、北京、和州、深安人(5464)  《在新教院及其庙院及民籍检验年报报与预测 刘寿佑、吴文泽、刘奖、元、刘军、王灵、成家上、张安、丰寿等、(5478)  《西斯山江东系统神历史超随位本来驱制 7688 刘建 7888 美王等。朱发,北京、北京、北京、西原(5478)  小湖丘市东外部形理及超位性的发展,对有效的优美 对身。 美来,工是,成家上、王鸡、野龙、西草、5478 (5478)  和湖市工东系统治环路的现代中在北京市中区市公市有效的优美 京村、安安、北京、北京、北京、北京、西原(54899)  按门开京的市长水布部供物中 PAHs 和 PCBs 污染粉粒上风险评估 景泰、云水、王思鸡、游凉、排池明、陈飞克、杨原(5599)  按信得菜下长汀中部地区类型饮用水源中中区中、分布物征与风险评估 景泰、云水、王思鸡、湖凉、果菜菜、果用等、5541)  一类成作果型消除着生量 DOM 组分特征及其对有效金钢器放准的 刘荣、《王龙、海·州、李、美、淮、美、北京、海原(55541)  平规则区不同水体水化学特征及服分布成风 后来,不为"大",发生,发生,发生,发生,发生,全身、原生,发生,人物、任务、5589)  生物实股份间水价等的企用等的。 对于,企业、发生、发生、发生、发生、发生、发生、发生、发生、发生、发生、发生、发生、发生、	$2018\sim 2019$ 十令字人律和自可「 $M_{2.5}$ 中里並腐行架付惟一健康风险吁 $\Pi$	
基于政保股稅驗的工产但区域具保牛成机制长期时空族住物社例 然言縣、消斗平、危险、转路、利用平、衰白水(5421)  当州市更季挥发件有机的污染特征及非源解析 杨志宗 陈廷,末允、丹炭、王府鸡、股会生、杨亚丽(5442)  当州市更等理发件有机的污染特征与接触及非源解析 杨志宗 陈廷,末允、丹炭、王府鸡、股会生、杨亚丽(5442)  如果心疗人物验析。正有健康风险评价 为家族 克隆 王原为,王克、郑州、元安、北京、和州、深安人(5464)  多家庭、王州湾、王龙、泉州、平泉之 65464)  少年农 海里、王州湾、民央、北京、和州、深安人(5464)  《在新教院及其庙院及民籍检验年报报与预测 刘寿佑、吴文泽、刘奖、元、刘军、王灵、成家上、张安、丰寿等、(5478)  《西斯山江东系统神历史超随位本来驱制 7688 刘建 7888 美王等。朱发,北京、北京、北京、西原(5478)  小湖丘市东外部形理及超位性的发展,对有效的优美 对身。 美来,工是,成家上、王鸡、野龙、西草、5478 (5478)  和湖市工东系统治环路的现代中在北京市中区市公市有效的优美 京村、安安、北京、北京、北京、北京、西原(54899)  按门开京的市长水布部供物中 PAHs 和 PCBs 污染粉粒上风险评估 景泰、云水、王思鸡、游凉、排池明、陈飞克、杨原(5599)  按信得菜下长汀中部地区类型饮用水源中中区中、分布物征与风险评估 景泰、云水、王思鸡、湖凉、果菜菜、果用等、5541)  一类成作果型消除着生量 DOM 组分特征及其对有效金钢器放准的 刘荣、《王龙、海·州、李、美、淮、美、北京、海原(55541)  平规则区不同水体水化学特征及服分布成风 后来,不为"大",发生,发生,发生,发生,发生,全身、原生,发生,人物、任务、5589)  生物实股份间水价等的企用等的。 对于,企业、发生、发生、发生、发生、发生、发生、发生、发生、发生、发生、发生、发生、发生、	题明升, 往朋红, 学刚, 刈业死, 赵刚, 张佳洁, 尚无旨, 尚尔阳(530)	6)
基于政保股稅驗的工产但区域具保牛成机制长期时空族住物社例 然言縣、消斗平、危险、转路、利用平、衰白水(5421)  当州市更季挥发件有机的污染特征及非源解析 杨志宗 陈廷,末允、丹炭、王府鸡、股会生、杨亚丽(5442)  当州市更等理发件有机的污染特征与接触及非源解析 杨志宗 陈廷,末允、丹炭、王府鸡、股会生、杨亚丽(5442)  如果心疗人物验析。正有健康风险评价 为家族 克隆 王原为,王克、郑州、元安、北京、和州、深安人(5464)  多家庭、王州湾、王龙、泉州、平泉之 65464)  少年农 海里、王州湾、民央、北京、和州、深安人(5464)  《在新教院及其庙院及民籍检验年报报与预测 刘寿佑、吴文泽、刘奖、元、刘军、王灵、成家上、张安、丰寿等、(5478)  《西斯山江东系统神历史超随位本来驱制 7688 刘建 7888 美王等。朱发,北京、北京、北京、西原(5478)  小湖丘市东外部形理及超位性的发展,对有效的优美 对身。 美来,工是,成家上、王鸡、野龙、西草、5478 (5478)  和湖市工东系统治环路的现代中在北京市中区市公市有效的优美 京村、安安、北京、北京、北京、北京、西原(54899)  按门开京的市长水布部供物中 PAHs 和 PCBs 污染粉粒上风险评估 景泰、云水、王思鸡、游凉、排池明、陈飞克、杨原(5599)  按信得菜下长汀中部地区类型饮用水源中中区中、分布物征与风险评估 景泰、云水、王思鸡、湖凉、果菜菜、果用等、5541)  一类成作果型消除着生量 DOM 组分特征及其对有效金钢器放准的 刘荣、《王龙、海·州、李、美、淮、美、北京、海原(55541)  平规则区不同水体水化学特征及服分布成风 后来,不为"大",发生,发生,发生,发生,发生,全身、原生,发生,人物、任务、5589)  生物实股份间水价等的企用等的。 对于,企业、发生、发生、发生、发生、发生、发生、发生、发生、发生、发生、发生、发生、发生、	育场入气降水中金属浓度、溶解度及具来源解析	1)
基于政保股稅驗的工产但区域具保牛成机制长期时空族住物社例 然言縣、消斗平、危险、转路、利用平、衰白水(5421)  当州市更季挥发件有机的污染特征及非源解析 杨志宗 陈廷,末允、丹炭、王府鸡、股会生、杨亚丽(5442)  当州市更等理发件有机的污染特征与接触及非源解析 杨志宗 陈廷,末允、丹炭、王府鸡、股会生、杨亚丽(5442)  如果心疗人物验析。正有健康风险评价 为家族 克隆 王原为,王克、郑州、元安、北京、和州、深安人(5464)  多家庭、王州湾、王龙、泉州、平泉之 65464)  少年农 海里、王州湾、民央、北京、和州、深安人(5464)  《在新教院及其庙院及民籍检验年报报与预测 刘寿佑、吴文泽、刘奖、元、刘军、王灵、成家上、张安、丰寿等、(5478)  《西斯山江东系统神历史超随位本来驱制 7688 刘建 7888 美王等。朱发,北京、北京、北京、西原(5478)  小湖丘市东外部形理及超位性的发展,对有效的优美 对身。 美来,工是,成家上、王鸡、野龙、西草、5478 (5478)  和湖市工东系统治环路的现代中在北京市中区市公市有效的优美 京村、安安、北京、北京、北京、北京、西原(54899)  按门开京的市长水布部供物中 PAHs 和 PCBs 污染粉粒上风险评估 景泰、云水、王思鸡、游凉、排池明、陈飞克、杨原(5599)  按信得菜下长汀中部地区类型饮用水源中中区中、分布物征与风险评估 景泰、云水、王思鸡、湖凉、果菜菜、果用等、5541)  一类成作果型消除着生量 DOM 组分特征及其对有效金钢器放准的 刘荣、《王龙、海·州、李、美、淮、美、北京、海原(55541)  平规则区不同水体水化学特征及服分布成风 后来,不为"大",发生,发生,发生,发生,发生,全身、原生,发生,人物、任务、5589)  生物实股份间水价等的企用等的。 对于,企业、发生、发生、发生、发生、发生、发生、发生、发生、发生、发生、发生、发生、发生、	2015~2021 年陕西关中城市群臭氧污染变化趋势	9)
基于政保股稅驗的工产但区域具保牛成机制长期时空族住物社例 然言縣、消斗平、危险、转路、利用平、衰白水(5421)  当州市更季挥发件有机的污染特征及非源解析 杨志宗 陈廷,末允、丹炭、王府鸡、股会生、杨亚丽(5442)  当州市更等理发件有机的污染特征与接触及非源解析 杨志宗 陈廷,末允、丹炭、王府鸡、股会生、杨亚丽(5442)  如果心疗人物验析。正有健康风险评价 为家族 克隆 王原为,王克、郑州、元安、北京、和州、深安人(5464)  多家庭、王州湾、王龙、泉州、平泉之 65464)  少年农 海里、王州湾、民央、北京、和州、深安人(5464)  《在新教院及其庙院及民籍检验年报报与预测 刘寿佑、吴文泽、刘奖、元、刘军、王灵、成家上、张安、丰寿等、(5478)  《西斯山江东系统神历史超随位本来驱制 7688 刘建 7888 美王等。朱发,北京、北京、北京、西原(5478)  小湖丘市东外部形理及超位性的发展,对有效的优美 对身。 美来,工是,成家上、王鸡、野龙、西草、5478 (5478)  和湖市工东系统治环路的现代中在北京市中区市公市有效的优美 京村、安安、北京、北京、北京、北京、西原(54899)  按门开京的市长水布部供物中 PAHs 和 PCBs 污染粉粒上风险评估 景泰、云水、王思鸡、游凉、排池明、陈飞克、杨原(5599)  按信得菜下长汀中部地区类型饮用水源中中区中、分布物征与风险评估 景泰、云水、王思鸡、湖凉、果菜菜、果用等、5541)  一类成作果型消除着生量 DOM 组分特征及其对有效金钢器放准的 刘荣、《王龙、海·州、李、美、淮、美、北京、海原(55541)  平规则区不同水体水化学特征及服分布成风 后来,不为"大",发生,发生,发生,发生,发生,全身、原生,发生,人物、任务、5589)  生物实股份间水价等的企用等的。 对于,企业、发生、发生、发生、发生、发生、发生、发生、发生、发生、发生、发生、发生、发生、	海南省背景区域昊氧及其前体物污染特征	7)
当州也要釋及性負用物污染特面及來類解析	基于双维度校验的珠三角区域臭氧生成机制长期时空演化特征识别 杨雷峰,谢丹平,杨俊,韩静磊,刘丽君,袁自冰(542	1)
地下停车场900。污染特征与健康风险评价		
接弃動發檢处理點至气体排放情景模以再翻 长江顆粒(炎)	兰州市夏季挥发性有机物污染特征及来源解析杨燕萍,陈强,孟宪红,孙健,王莉娜,陶会杰,杨丽丽(544)	2)
接弃動發檢处理點至气体排放情景模以再翻 长江顆粒(炎)	地下停车场 VOCs 污染特征与健康风险评价 ····································	3)
接弃動發檢处理點至气体排放情景模以再翻 长江顆粒(炎)	缸内直喷汽油车颗粒物化学组分特征 · · · · · · · · · · · · · · · · · · ·	4)
经工厂额险(学)。高元素分布、来原和间海输送 —— 对考。 果少年、对菜,天,刘军,王昊、燕皮业,张爱坚,张爱坚,和城市水谷间的清洗及商的张水原的中沙变化 —— 非母亲,张安强,对求。 居实验《治》),小说底水师水沙调控测强问型地地下水生河水转化关系 —— 背卷舱,刘怜凡,处同读。郑晚明,珠飞宏,杨晨(5499)的没几点输水水库附仅用水源水质的中沙变化 —— 张少年、岳星、系统 王思瑶,阅想、张来和,是月终,杨光,代育(5509)按指背张下文证净能及典型性用水源中PUS-分布特信与风险评估 —— 表述,刘怜凡,是同读,郑晚明,珠飞宏,杨晨(5499)的为11年间,在一个 —— "我们,我们,我们就是一个有"大",我们是一个"大",我们就们们是一个"大",我们就们们是一个"大",我们就们们们是一个"大",我们就们们们们们们们们们们们们们们们们们们们们们们们们们们们们们们们们们们们	废弃物焚烧外理温室气体排放情景模拟与预测 严蘅 刘舒乐 吴正方,高庆先,杜海波 马占云 冯瞻(547)	0)
讓抢江水系鐵磷污染及商體主來與解析	松江即数(米) 全届元妻分布 李顺和向海输送	8)
小和底於体來的調控關談問題地址下水上河水转化关系 照有的 对称, 其是 , 对给 , 其	(国际)工作人工。	1 )
磨刀门水面输水水库牌饮用水雕水匠即即它享免化————————————————————————————————————		
疫情情景下於江中路地区典型校用水漏中 PPCBs 污染特征和风险评估 是且 自	小依成小牛小沙峒在州洪河业吧电下小司河小牧化大尔 ————————————————————————————————————	9)
要月券。吕虚、非培含、涂布、杨光、王山军、张茉莉、谢琼、竹肴(5522)  北江中上游地表水和沉积物中 PAHs 和 PCBs 污染特征和风险评估	熔刀门水迫糊水水库样饮用水源水质的时至变化 ····································	9)
是盛,白云松、涂明、付青、张坤华、漆杨、玉山军、杨光、亚星(5534)	投情育景下长江甲游地区典型饮用水源甲 PPCPs 分布特征与风险评估	
· 昌盛,白云於、涂束、竹青、张埠埠、湯桥、王山宝、杨光、正夏(5534) 三峡水库與短清衛衛士堰 DOM 组分特征及其对有效态镉释放影响	樊月婷, 昌盛, 张坤锋, 涂响, 杨光, 王山军, 张茉莉, 谢琼, 付青(552)	2)
可同溶解氧条件下沉良物、体系磷循环。2011 - 2019 年福阳湖水质流性待征及主要污染因子解析   刘美夫   刘美夫   刘美生,   胡惠住,   胡惠庄,   西水   大迎乘,   高水   元元   元元   元元   元元   元元   元元   元元	北江中上游地表水和沉积物中 PAHs 和 PCBs 污染特征和风险评估	
可問容解氣条件下沉良物。水体系磷循环。2011 - 2019 年離阳湖、近漢化给证及主要污染因子解析		4)
可問容解氣条件下沉良物。水体系磷循环。2011 - 2019 年離阳湖、近漢化给证及主要污染因子解析	平朔矿区不同水体水化学特征及氟分布成因	7)
不同溶解氧条件下沉良物。水体系磷循环。2011 - 2019 年鄱阳湖水质流性各征及主要污染因子解析   刘茱天   刘茱   王以读, 刘如铭   吴文涛, 冯琛, 藏家业, 冉洋深(5571) 2011 - 2019 年鄱阳湖水质流生物降等和重金属分布特征以及风险评价	三峡水库典型消落带土壤 DOM 组分特征及其对有效态镉释放影响 ············ 张宝豪,武亚遵,徐东昱,高丽,李艳艳,王启文,高博(556)	0)
2011 - 2019 年都阳湖水质演化特征及主要污染因子解析 《景文素海表层沉积物中营养盐和重金属分布特征以及风险评价 杜彩而、蒙佳茜、孝国文、李能光、炭项、张列率(5598) 生物炭吸附雨水径流难生物降解有机氮效能及机制 《景须、孝信 自灵 自乙竭,张淑荣、王圣瑞、郑善、丁爱中(5616) 锰氧化物改性生物炭基质材料对典型唯诸阳类抗生素的吸附及其在人工湿地的应用 高惠子、田伟君、张子钰、郑孝、其新、为孝、 用薄、范世领(5627) KOH 活化小麦秸秆生物炭对废水中四环素的高效去除 《常 男 - 月、姚国庆、张宗珊、杨辛琪、周娜、范世领(5635) 改性凹凸样负载硫化亚铁的副各及其对水中 Ma(VI)的吸附机制	不同溶解氧条件下沉积物-水体系磷循环	1)
乌梁素海表层沉积物中营养盐和重金属分布特征以及风险评价	2011~2019年鄱阳湖水质演化特征及主要污染因子解析	5)
生物炭吸附面水径流建生物降解有机氮效能及机制	2017 2017 1 1 1 1 1 1 2 1 7 1 1 1 1 1 1 1 1 1 1	8)
不同水源补给河流污染植物群落线构特征及其与环境用子的关系	一 3 木 形 9 人 2 0 0 0 0 0 0 0 0 0 0 0 0 0 0 0 0 0 0	0)
[金氧化物改性生物炭基质材料对典型喹诺酮类抗生素的吸附及其在人工湿地的应用		
高惠子,田伟君,张子钰,邻梦圆,杨嘉洁,赵婧,储美乐,江俊峻(5627) 改性凹凸棒负载硫化亚铁的制备及其对水中 Mo(VI)的吸附机制	个国外保护结例流行所值物研络结构存储及具与环境因于的大余	6)
楼树生物炭负载绿色合成纳米零价铁去除水中 Cr(VI)	锰氧化物改性生物灰基质材料对典型喹诺酮尖机生系的吸附及具在人工巡地的应用	_ 、
楼树生物炭负载绿色合成纳米零价铁去除水中 Cr(VI)	· · · · · · · · · · · · · · · · · · ·	7)
楼树生物炭负载绿色合成纳米零价铁去除水中 Cr(VI)	KOH 沾化小麦秸朴生物炭对废水中四环素的高效去除	5)
上海市典型工业用地土壤和地下水重金属复合污染特征及生态风险评价 李晓曼、李青青、杨洁、黄沈发、张施阳、吉敏(5687)重庆市煤矸山周边农用地土壤重金属污染评价和定量测源解析	改性凹凸棒负载硫化亚铁的制备及其对水中 Mo( VI )的吸附机制 · · · · · · · · · · · · · · · · · · ·	
上海市典型工业用地土壤和地下水重金属复合污染特征及生态风险评价 李晓曼、李青青、杨洁、黄沈发、张施阳、吉敏(5687)重庆市煤矸山周边农用地土壤重金属污染评价和定量测源解析		7)
上海市典型工业用地土壤和地下水重金属复合污染特征及生态风险评价 李晓曼、李青青、杨洁、黄沈发、张施阳、吉敏(5687)重庆市煤矸山周边农用地土壤重金属污染评价和定量测源解析	桉树生物炭负载绿色合成纳米零价铁去除水中 Cr(Ⅵ) ····································	7)
上海市典型工业用地土壤和地下水重金属复合污染特征及生态风险评价 李晓曼、李青青、杨洁、黄沈发、张施阳、吉敏(5687)重庆市煤矸山周边农用地土壤重金属污染评价和定量测源解析	镁改性硅藻土回收废水氮磷产物对水中 Pb²+ 和 Zn²+ 的去除 ······························· 吴盈秋,夏鹏,李远,王学江(566'	7)
上海市典型工业用地土壤和地下水重金属复合污染特征及生态风险评价 李晓曼、李青青、杨洁、黄沈发、张施阳、吉敏(5687) 重庆市煤矸山周边农用地土壤重金属污染评价和定量测源解析 —— 马杰、刘萍、刘今朝,郭春会、张秀、王玲灵(5698) 典型石油场地周边土壤重金属形态特征及源解析 —— 宫族,何连生、李强、王耀锋、曹莹、刘晓雪、高存富(5710) 基于PMF 模型的垃圾焚烧厂周边农田土壤重金属源解析 —— 张恬雨,胡恭任、于瑞莲、林承奇、黄华斌(5718) 香河县农田土壤重金属污染生态与健康风险评价 ——	钠化改性河南南部膨润土吸附亚甲基蓝性能分析	6)
重庆市煤矸山周边农用地土壤重金属污染评价和定量溯源解析	上海市典型工业用地土壤和地下水重金属复合污染特征及生态风险评价 李晓曼,李青青,杨洁,黄沈发,张施阳,吉敏(568)	7)
基于PMF 模型的垃圾焚烧厂周边农田土壤重金属源解析	重庆市煤矸山周边农用地土壤重全属污染评价和完量潮源解析	8)
基于PMF 模型的垃圾焚烧厂周边农田土壤重金属源解析	业产工协会。1000年,1000年	0)
香河县农田土壤重金属污染生态与健康风险评价 地质构造单元交接带表土中重金属污染特征对比及源解析:以重庆城口地区为例 加永林、吴梅、刘睿、李军、倪润祥、刘双燕、田兴磊、赵家宇、刘怡、夏传波(5742) 新疆典型地区植物和土壤多环芳烃污染特征、来源解析及健康风险评价  一根料调控强化象草对重度 Cd 污染农田修复效果 物。	完全自由的企构及上次里面间形心的正文体所列	Q )
地质构造单元交接带表土中重金属污染特征对比及源解析:以重庆城口地区为例	金月1MF快空印型双火风// 川辺仏山上读里並周跡肝引	0)
对永林、吴梅、刘睿、李军、倪润祥、刘双燕,田兴磊、赵家宇、刘怡、夏传波(5742)新疆典型地区植物和土壤多环芳烃污染特征、来源解析及健康风险评价 杨北辰、解启来、郑芊、郑晓波、叶金明、唐成金、梁晓晖(5751)肥料调控强化象草对重度 Cd 污染农田修复效果 伍港繁、周航、唐棋、辜娇峰、曾鹏、廖柏寒(5761)微碱性土壤施用烟秆生物炭与磷酸盐降低小麦籽粒镉积累 极艳征、张银鸽、李畅、扶海超、秦世玉、王龙、刘亥扬、刘红恩、睢福庆、赵鹏(5769)产多胺细菌提高小麦 Cd 抗性和消减 Cd 吸收机制 奶品、 好电子。 好用机制 高羽、刘雨辰、郭晓方、吉莉、张桂香、张哲海、夏红丽、何文峰、张博远(5778)硫酸盐还原菌对碱性和酸性农田土壤中重金属的钝化效果及其作用机制 高羽、刘雨辰、郭晓方、吉莉、张桂香、张哲海、夏红丽、何文峰、张博远(5789)巨大芽孢杆菌对土壤理化性质及植物富集镉锌的影响 王萍、李一曼、王雪佳、许亚琼、张书强、李倩、徐凯莉、李荣华、张增强(5798)嘉陵江滨岸带不同土地利用类型土壤真菌群落结构与功能多样性 竹兰萍、徐飞、王佳颖、朱智豪、张拓、张富斌(5808)添加生物炭对浆土地区双季稻田生物固氮的影响 赵炎、袁新生、唐瑞杰、邵晓辉、李凯凯、文昌丽、陈绮琦、伍延正、孟磊、汤水荣(5819)基于房-C_3N_4研究环境中甲氧苄啶的光降解行为及其毒性 朱娜、王星阳、焦俊恒、王磊、梁栋、李广科、桑楠(5832)"双碳"目标下中国省域碳排放核算分析	省刊县农田工壤里壶周行案生态习健康风险厅们	8)
新疆典型地区植物和土壤多环芳烃污染特征、来源解析及健康风险评价	地质构造毕元父接带表土中里金属污染特征对比及源解析:以里庆城口地区为例	
肥料调控强化象草对重度 Cd 污染农田修复效果		2)
一多胺细菌提高小麦 Cd 抗性和消减 Cd 吸收机制	新疆典型地区植物和土壤多环芳烃污染特征、来源解析及健康风险评价	
一多胺细菌提高小麦 Cd 抗性和消减 Cd 吸收机制		1)
一多胺细菌提高小麦 Cd 抗性和消减 Cd 吸收机制	肥料调控强化象草对重度 Cd 污染农田修复效果 伍港繁,周航,唐棋,辜娇峰,曾鹏,廖柏寒(576.	1)
一多胺细菌提高小麦 Cd 抗性和消减 Cd 吸收机制	微碱性土壤施用烟秆生物炭与磷酸盐降低小麦籽粒镉积累	
硫酸盐还原菌对碱性和酸性农田土壤中重金属的钝化效果及其作用机制	·····································	9)
硫酸盐还原菌对碱性和酸性农田土壤中重金属的钝化效果及其作用机制	产多胺细菌提高小麦 Cd 拉性和消减 Cd 吸收机制	8)
高羽,刘雨辰,郭晓方,吉莉,张桂香,张哲海,夏红丽,何文峰,张博远(5789)巨大芽孢杆菌对土壤理化性质及植物富集镉锌的影响 王萍,李一曼,王雪佳,许亚琼,张书强,李倩,徐凯莉,李荣华,张增强(5798)嘉陵江滨岸带不同土地利用类型土壤真菌群落结构与功能多样性 竹兰萍,徐飞,王佳颖,朱智豪,张拓,张富斌(5808)添加生物炭对琼北地区双季稻田生物固氮的影响 赵炎,袁新生,唐瑞杰,邵晓辉,李凯凯,文昌丽,陈绮琦,伍延正,孟磊,汤水荣(5819)基于g-C <sub>3</sub> N <sub>4</sub> 研究环境中甲氧苄啶的光降解行为及其毒性 朱娜,王星阳,焦俊恒,王磊,梁栋,李广科,桑楠(5832)"双碳"目标下中国省域碳排放核算分析 杨柏,秦广鹏,邬钦(5840)长株潭城市群地类转移的碳传导效应与预测 杨旭,刘贤赵(5850)基于分类的张家港市生活垃圾典型处置情景环境效益分析 张涛,郑钧文,孙煜璨,白冬锐,杨婷,张冰,郭含文,陈坦,王洪涛(5861)《环境科学》第 43 卷(2022 年)总目录	益於卦还值黃式碱性和於性农田土壤由重全层的結化效果及其作田和制	0 )
巨大芽孢杆菌对土壤理化性质及植物富集镉锌的影响 王萍,李一曼,王雪佳,许亚琼,张书强,李倩,徐凯莉,李荣华,张增强(5798) 嘉陵江滨岸带不同土地利用类型土壤真菌群落结构与功能多样性 价兰萍,徐飞,王佳颖,朱智豪,张拓,张富斌(5808) 添加生物炭对琼北地区双季稻田生物固氮的影响 赵炎,袁新生,唐瑞杰,邵晓辉,李凯凯,文昌丽,陈绮琦,伍延正,孟磊,汤水荣(5819) 基于g-C <sub>3</sub> N <sub>4</sub> 研究环境中甲氧苄啶的光降解行为及其毒性 朱娜,王星阳,焦俊恒,王磊,梁栋,李广科,桑楠(5832) "双碳"目标下中国省域碳排放核算分析 杨柏,秦广鹏,邬钦(5840) 长株潭城市群地类转移的碳传导效应与预测 杨旭,刘贤赵(5850) 基于分类的张家港市生活垃圾典型处置情景环境效益分析 张涛,郑钧文,孙煜璨,自冬锐,杨婷,张冰,郭含文,陈坦,王洪涛(5861) 《环境科学》第 43 卷(2022 年)总目录	则取血之小四个则上中以上小口上次!至业内印化几从个人次门门印刷的。 方可 刘西巨 朝成七 七节 建柱关 建新冶 百斤面 何立故 建墙户(570)	0 )
嘉陵江滨岸带不同土地利用类型土壤真菌群落结构与功能多样性 竹兰萍,徐飞,王佳颖,朱智豪,张拓,张富斌(5808) 添加生物炭对琼北地区双季稻田生物固氮的影响 赵炎,袁新生,唐瑞杰,邵晓辉,李凯凯,文昌丽,陈绮琦,伍延正,孟磊,汤水荣(5819) 基于g-C <sub>3</sub> N <sub>4</sub> 研究环境中甲氧苄啶的光降解行为及其毒性 朱娜,王星阳,焦俊恒,王磊,梁栋,李广科,桑楠(5832) "双碳"目标下中国省域碳排放核算分析 杨柏,秦广鹏,邬钦(5840) 长株潭城市群地类转移的碳传导效应与预测 杨旭,刘贤赵(5850) 基于分类的张家港市生活垃圾典型处置情景环境效益分析 张涛,郑钧文,孙煜璨,白冬锐,杨婷,张冰,郭含文,陈坦,王洪涛(5861) 《环境科学》第 43 卷(2022 年)总目录	后十芽面红苗对土壤理心种质及结肠合焦短粒的影响 工薪 本 馬 工重任 永正琦 史北思 本库 效助药 本并化 化玻璃医570.	0)
添加生物炭对琼北地区双季稻田生物固氮的影响		
世界の表現の表現を表現します。 一個	最 <u>废江浜岸带不问土地利用关型土壤具属</u> 群路结构与功能多样性 ··············· 竹三泙,徐飞,土佳颖,朱智蒙,张拓,张富斌(5808)	8)
基于分类的张家港市生活垃圾典型处置情景环境效益分析 张涛,郑钧文,孙煜璨,白冬锐,杨婷,张冰,郭含文,陈坦,王洪涛(5861) 《环境科学》第 43 卷(2022 年)总目录	深加生物灰对块北地区从李档出生物固氮的影响	
基于分类的张家港市生活垃圾典型处置情景环境效益分析 张涛,郑钧文,孙煜璨,白冬锐,杨婷,张冰,郭含文,陈坦,王洪涛(5861) 《环境科学》第 43 卷(2022 年)总目录		9)
基于分类的张家港市生活垃圾典型处置情景环境效益分析 张涛,郑钧文,孙煜璨,白冬锐,杨婷,张冰,郭含文,陈坦,王洪涛(5861) 《环境科学》第 43 卷(2022 年)总目录	基于g-C <sub>3</sub> N <sub>4</sub> 研究环境中甲氧苄啶的光降解行为及其毒性 朱娜,王星阳,焦俊恒,王磊,梁栋,李广科,桑楠(583)	2)
基于分类的张家港市生活垃圾典型处置情景环境效益分析 张涛,郑钧文,孙煜璨,白冬锐,杨婷,张冰,郭含文,陈坦,王洪涛(5861) 《环境科学》第 43 卷(2022 年)总目录	"双碳"目标下中国省域碳排放核算分析 杨柏,秦广鹏,邬钦(5846	0)
基于分类的张家港市生活垃圾典型处置情景环境效益分析 张涛,郑钧文,孙煜璨,白冬锐,杨婷,张冰,郭含文,陈坦,王洪涛(5861) 《环境科学》第 43 卷(2022 年)总目录	长株潭城市群地类转移的碳传导效应与预测 杨旭.刘贤赵(5850	0)
	基于分类的张家港市生活垃圾典型处置情景环境效益分析 张涛、郑钧文、孙煜璨、白冬锐、杨婷、张冰、郭含文、陈坦、王洪涛(586)	1)
	《环境科学》第43 卷(2022 年)总目录	3 )
《外境科学》征记吕事(5386) - 《外境科学》征楊简则(5521) - 信县(5607-5741-5768)	《环境科学》征订启事(5386) 《环境科学》征稿简则(5521) 信息(5607,5741,5768)	- /
(2000) (217年 - 1970日 - 1		
	(**アン・カー・アン・   **アン・カー・   100   10	



# 产多胺细菌提高小麦 Cd 抗性和消减 Cd 吸收机制

姬明飞, 吴雪姣, 李晓哲, 陈兆进, 姚伦广, 张君, 庞发虎, 韩辉\*

(南阳师范学院生命科学与农业工程学院,南水北调中线水源区水安全河南省协同创新中心,河南省南水北调中线水源区生态安全重点实验室,南阳 473061)

摘要:为了探究重金属固定植物促生细菌强化作物消减对重金属的吸收及其机制,以产多胺细菌 Enterobacter bugandensis YX6 和小麦为研究对象,通过水培试验研究 Cd 胁迫下菌株 YX6 对小麦生长和 Cd 吸收以及 Cd 在小麦根系中亚细胞分布的影响,同时借助非标记蛋白质组学技术研究菌株 YX6 对小麦根系蛋白质表达的影响.结果表明,与单独 3 mg·L<sup>-1</sup>Cd 处理相比,Cd 胁迫下接种菌株 YX6 显著提高了小麦根(42.71%)和叶片(82.83%)的干重,显著降低了小麦根(48.56%)和叶(61.41%)中 Cd 的含量.同时,菌株 YX6 的接种显著提高了小麦根和叶中多胺的含量,进而增强了小麦对 Cd 的抗性.此外,YX6+Cd 处理组中小麦根细胞器和可溶性部分中 Cd 的比例显著低于单独 Cd 处理中的比例,而细胞壁中 Cd 的比例则要高于单独 Cd 处理中的比例.非标记蛋白质组学显示,Cd 胁迫下菌株 YX6 提高了小麦根系中与 DNA 修复(蛋白质-DNA 复合物和 DNA 包装复合物)和激素(脱落酸和茉莉酸)合成相关蛋白质的表达,从而提高了小麦对 Cd 的抗性和消减 Cd 吸收.结果可为阐明产多胺细菌消减小麦 Cd 吸收的分子机制和保障小麦安全生产提供科学依据和技术途径.

关键词:产多胺细菌;小麦;镉(Cd);蛋白质组学;钝化

中图分类号: X171.5 文献标识码: A 文章编号: 0250-3301(2022)12-5778-11 DOI: 10.13227/j. hjkx. 202203048

# Polyamine-producing Bacteria Improve Cd Resistance and Reduce Uptake of Cd in Wheat

JI Ming-fei, WU Xue-jiao, LI Xiao-zhe, CHEN Zhao-jin, YAO Lun-guang, ZHANG Jun, PANG Fa-hu, HAN Hui

(Henan Key Laboratory of Ecological Security for Water Source Region of Mid-line of South-to-North Diversion Project, Collaborative Innovation Center of Water Security for Water Source Region of Mid-route Project of South-North Water Diversion of Henan Province, College of Life Sciences and Agricultural Engineering, Nanyang Normal University, Nanyang 473061, China)

Abstract: In order to study the mechanisms of heavy metal-immobilizing and plant growth-promoting bacteria inhibiting the absorption of heavy metals by crops, the polyamine-producing bacteria Enterobacter bugandensis YX6 and wheat were used as the research objects. The effects of strain YX6 on the growth and Cd absorption of wheat and the distribution of Cd in subcells of wheat root were studied using a hydroponic experiment under 3 mg·L<sup>-1</sup> Cd. Moreover, the effect of strain YX6 on wheat root protein expression was studied using the unlabeled proteomics technique. The results showed that under 3 mg·L<sup>-1</sup> Cd, strain YX6 significantly increased the dry weight of wheat roots (42.71%) and leaves (82.83%) and reduced the content of Cd in wheat roots (48.56%) and leaves (61.41%). The inoculation of strain YX6 significantly increased the contents of polyamines in wheat roots and leaves and enhanced the resistance to Cd and reduced the absorption of Cd in wheat. In addition, the proportions of Cd in the organelles and soluble parts of wheat roots in the YX6 + Cd treatment group were significantly lower than that in the single Cd treatment, whereas the proportion of Cd in the cell wall was higher than that in the single Cd treatment. Unlabeled labeled proteomics showed that under Cd stress, strain YX6 increased the expression of proteins related to DNA repair (protein DNA complex and DNA packaging complex) and hormone (abscisic acid and jasmonic acid) synthesis in wheat roots, thus improving wheat resistance to Cd and reducing Cd absorption. These results provide a theoretical basis and technical way for clarifying the molecular mechanism of polyamine-producing bacteria reducing Cd absorption in wheat and ensuring the safe production of wheat.

Key words: polyamine-producing bacteria; wheat; cadmium (Cd); proteomics; immobilization

由于不合理的采矿和农业废弃物的随意处置等,大量的镉(Cd)等重金属进入农田,造成土壤重金属含量超标<sup>[1,2]</sup>.重金属在土壤中会随着土壤-植物系统进入到作物中,再通过食物链积累到人体中,严重威胁人类的健康<sup>[3-5]</sup>.我国北方地区是小麦主产区,近年来"镉麦"事件的不断曝光,引起了全社会对小麦重金属超标问题的广泛担忧<sup>[6,7]</sup>.目前,有效阻控作物富集土壤重金属的途径主要包括:低积累重金属品种的培育,叶面阻控剂的喷施、原位钝化修复技术和农艺调控技术等<sup>[8-11]</sup>.其中原位钝化是目前研究较多、效果较好的一种修复方法,其核心思路就是通过钝化剂的施加,使重金属固定在土

壤中,减少重金属的流动性,进而阻控作物对重金属的吸收<sup>[12]</sup>.重金属固定植物促生细菌是一类研究较多的具有固定重金属和阻控作物吸收重金属的微生物,这类细菌吸附固定重金属的机制主要有细胞壁的表面吸附、胞内富集、胞外吸附螯合、生物沉淀和氧化还原等<sup>[13,14]</sup>.此外,重金属固定植物促生细

收稿日期: 2022-03-05; 修订日期: 2022-04-04

基金项目: 国家自然科学基金项目(41907143);河南省青年人才托举工程项目(2022HYTP033);河南省科技攻关计划项目(212102310844,212102110391,212102310076);南阳市重大科技专项项目(2019ZDZX10)

作者简介: 姬明飞(1983~), 男, 博士, 副教授, 主要研究方向为植物-微生物-重金属相互作用, E-mail: jimfdy@ gmail. com

\* 通信作者,E-mail:17657311626@163.com

菌还能够产生铁载体、生长素和脱落酸等物质,促进作物生长、提高作物抗逆性和改善土壤质量<sup>[15,16]</sup>,这也是微生物钝化剂相比化学钝化剂具有的最大优势.

当植物受到环境胁迫时,可诱导体内某些蛋白 质的表达,来抵抗外界的环境胁迫[17]. 功能微生物 可以调节植物根系中的蛋白质表达,以阻止重金属 进入根系[18]. 蛋白质组学技术已经成为应用于研究 植物生长、种子发育和抵抗胁迫机制的重要手段. Li 等[19] 研究表明重金属抗性植物促生细菌 Pseudomonas sp. TLC 6-6.5-4 的接种显著提高了玉 米根系与植物发育和应激反应相关的蛋白质的表 达,降低了玉米对 Cu 的吸收. 笔者实验室筛选到 1 株产多胺细菌 Enterobacter bugandensis YX6,能够分 泌精胺和亚精胺、钝化固定 Cd 和阻控空心菜对 Cd 的吸收<sup>[20]</sup>. 然而, Cd 胁迫下菌株 YX6 对小麦吸收 Cd 和根系蛋白质表达的影响还不清楚. 因此,本文 通过水培试验研究了菌株 YX6 对小麦根系和叶片 生长、Cd 吸收和抗氧化酶活性以及 Cd 在小麦根系 中亚细胞分布的影响,利用非标记蛋白质组学分析。 了 Cd 胁迫下菌株 YX6 对小麦根系蛋白质表达的影 响,以期为阐明产多胺细菌消减小麦 Cd 吸收的分 子机制和保障小麦安全生产提供理论依据和技术途 径.

#### 1 材料与方法

#### 1.1 供试菌株和小麦

菌株 Enterobacter bugandensis YX6 来自于南水 北调中线水源区水安全协同创新中心实验室. 郑麦 7698(Triticum aestivum L.)购自于南阳市种子站,为 河南地区常规小麦品种.

#### 1.2 小麦水培试验

选取籽粒饱满的小麦种子若干,先用无菌去离子水冲洗 3 次,然后用 5% 乙醇溶液消毒 3 min,最后用无菌去离子水冲洗 3 次,铺于湿纱布上,28℃ 催芽 24 h. 小麦种子发芽后,选择 20 粒大小相同的种子,移栽到花盆中(直径 15 cm,高 30 cm). 花盆的上层装有 1.0 kg 石英砂,下层含有 1.8 L 霍格兰营养液. 水培试验共有 4 种处理:①未经 Cd 处理且未接种菌株 YX6 的小麦(CK);②用 3 mg·L<sup>-1</sup> Cd 处理的小麦(Cd);③接种菌株 YX6 的小麦(YX6);④含有 3 mg·L<sup>-1</sup> Cd 并且接种菌株 YX6 的小麦(YX6);④含有 3 mg·L<sup>-1</sup> Cd 并且接种菌株 YX6 的小麦(YX6+Cd). 每个处理做 3 个重复. 小麦幼苗培养14 d后,添加 Cd 母液,使培养液中的 Cd 浓度为 3 mg·L<sup>-1</sup>,同时接种菌株 YX6. 首先制备菌株 YX6 的细菌悬浮液( $D_{600} = 10^8$  CFU·mL<sup>-1</sup>). 采用浸根的方

式进行接种,即把小麦根放入到细菌菌悬液中,浸泡 2h.为了让小麦持续地受到 Cd 胁迫,每周更换营养液后会继续添加 Cd 母液,使 Cd 初始浓度为  $3mg \cdot L^{-1}$ .所有的植物都生长在温室中,温室的室温保持在( $25 \pm 2$ ) C.从第 1 次添加 Cd 开始算,40 d 后进行收获处理.

#### 1.3 小麦样品收获和菌株 YX6 的定殖检测

用剪刀把小麦的茎叶和根分开. 为了去除吸附 在小麦组织表面的 Cd, 使用 EDTA-2Na (0.01 mol·L-1)溶液浸泡样品 10 min,再用去离子水冲洗 3遍. 为了检测菌株 YX6 在小麦根上定殖的情况,取 部分新鲜小麦根研磨成糊状物,进行梯度稀释,涂于 含有 400 mg·L⁻¹ Cd 的产多胺筛选培养基[15],28℃ 下培养3d,数出菌落数. 在平板上随机挑取一定数 量的菌落,采用细菌 DNA 提取试剂盒提取各个菌株 的 DNA, 然后使用通用引物 27F (5'-AGAGTTT GATCCTGCTCAG-3') 和 1492R (5'-GCTTACCTT GTTACGACTT-3')进行16S rRNA 基因扩增,扩增产 物送到上海生工进行测序,得到每个菌株的种属信 息. 选取一定量的小麦根和叶,用电子秤测量鲜重和 干重. 称取烘干后的植物样品 0.200 g,粉碎机粉碎 后放到聚乙烯坩埚中,加入3 mL的盐酸和9 mL的 硝酸,在通风橱中加盖浸泡过夜. 第2 d 放在电热板 上,120℃低温加热,使样品初步分解,4 h 后打开盖 子,升温至160℃进行消解和赶酸,直至内容物为透 明黏稠状为止. 若消解不彻底, 再加入 3 mL 硝酸和 1 mL 盐酸,重复上述消解过程. 最后用去离子水进 行定容,过0.22 μm 滤膜后进行 Cd 含量测定.使用 电感耦合等离子体发射光谱仪(Inductively coupled plasma atomic emission spectrometry, ICP-AES) 测定 小麦叶和根的 Cd 含量. 同时采用国家标准参比物 质(植物:GBW-08501)进行质量控制,标样测定结 果均在允许误差范围内,回收率在97.3%~98.9%. 用抗氧化酶试剂盒测定新鲜小麦根和叶的超氧化物 歧化酶(SOD)活性和过氧化物酶(POD)活性.

#### 1.4 小麦样品中多胺含量的测定

将 2 g 新鲜小麦根或叶加到含有 60 mL 80% 甲醇溶液中,用研磨棒研磨成匀浆,4℃下振动 24 h,并过滤. 滤液在旋转蒸发干燥器中蒸发至原始体积的一半,然后添加 10 mL 石油醚并均匀混合样品,去除甲醇溶液并浓缩以获得水溶液. 通过高效液相色谱法测定小麦叶或根中的精胺和亚精胺的含量<sup>[21]</sup>.

#### 1.5 小麦根中 Cd 的亚细胞分布测定

参考 Wu 等 $^{[22]}$ 的方法测定不同处理下小麦根中 Cd 的亚细胞分布. 将 0.5 g 在液氮中冷冻的小麦根添加到含有 154  $\mathrm{mg} \cdot \mathrm{L}^{-1}$ 二硫代三糖醇、0.05

 $mol \cdot L^{-1}$  Tris-HCl(pH 7.5)和85.5 mg·L<sup>-1</sup>的20 mL 蔗糖溶液中,研磨成匀浆.然后,匀浆通过尼龙布(80  $\mu$ m)过滤,尼龙布上的残留物被认为是细胞壁部分;滤液在5000 g下离心10 min,离心管底部的颗粒被指定为细胞器部分;而上清液被指定为可溶性部分.采用ICP-AES测定各个组分的Cd含量.

#### 1.6 非标记蛋白质组学

将2.0g小麦根在液氮中磨成细粉,然后在含 有 2.5% SDS 和 100 mmol·L<sup>-1</sup> Tris-HCl(pH 8.0)的 裂解缓冲液中超声处理 15 min, 12 000 g 下离心 15 min. 加入 2 倍体积的丙酮溶液, 沉淀上清液中的蛋 白质,然后将其溶解在8 mol·L-1 尿素和 100 mmol·L<sup>-1</sup> Tris-HCl(pH 8.0)的缓冲液中. 12 000 g 下离心 15 min,加入 10 mmol·L<sup>-1</sup> DTT,37℃反应 1 h. 然后进行烷基化反应(40 mmol·L<sup>-1</sup>碘乙酰胺, 25℃下黑暗处理 30 min). 以 1:50 的比例添加胰蛋 白酶(酶:蛋白质,质量比),并在37℃下过夜消化混 合物.次日,用TFA将 pH降至6.0以结束消化,然 后12 000 g 离心 15 min,使用 Sep-Pak C18 脱盐柱对 上清液进行多肽纯化,洗脱液真空干燥并储存在 -20℃备用. 数据采集在配备纳米喷雾源的混合四 极 TOF LC-MS/MS 质谱仪(TripleTOF 5600, SCIEX) 上进行. 将约 2 μg 肽溶解在 MS 加载缓冲液(0.1% 甲酸)中,通过自动进样器加载到 C18 柱上(5 μm, 5×0.3 mm, Agilent Technologies),然后洗脱到 C18 分析柱(75 µm×150 mm, 3 µm particle size, 10 nm pore size, Eksigent) 中. 使用流动相 A(3% DMSO, 97% H<sub>2</sub>O,0.1% 甲酸) 和流动相 B(3% DMSO,97% ACN, 0.1% 甲酸) 建立 100 min 的梯度. 恒定流速设 置为 300 nL·min<sup>-1</sup>. 使用 2.3 kV 的喷雾电压、20 PSI 的幕气和 150℃的界面加热器温度获取数据. 使 用 MaxQuant 软件(V1.6.2.10)和 Andromeda 数据

库对来自 TripleTOF 5600 的原始数据进行分析. 使用默认参数对照 UniProt Triticum aestivum 蛋白质数据库搜索光谱文件. 使用无标签量化模式,最小比率计数设置为1,并检查运行间匹配功能. 在蛋白质和肽水平上用1%的 FDR 筛选搜索结果. 基于具有相同或相似氨基酸序列的蛋白质共享相似功能的原理,使用 BLASTed 算法针对 NR 数据库中指定的分类单元 ID 对从蛋白质组分析中获得的蛋白质序列进行分析.

#### 1.7 荧光定量 PCR 验证

选取茉莉酸生物合成相关酶基因(OPR,OPR-F:5'-ACAGGGAGGAAGGGAAC AAGG-3',OPR-R:5'-TTGGGCAGGTCAGGGTTAGC-3')和谷胱甘肽 S-转移酶(tauGST,GST-F:5'-AAGAGATTGTCGGTGTCAGTTTGG-3',GST-R:5'-CGGCGTGTCCTGTTTAGAGAATAG-3')进行验证上述蛋白质组学的结果.使用 TransZol 植物试剂(TransGen Biotech)提取小麦根的 RNA,并使用带有 gDNA 擦除器(TakaRa)的PrimeScriptTM RT 试剂盒进行反转录<sup>[23]</sup>.

#### 1.8 数据处理

采用 SPSS 17.0 软件进行数据统计分析,用 Microsoft Excel 2010 进行绘图.

## 2 结果与分析

#### 2.1 菌株 YX6 在小麦根的定殖检测

结合平板梯度稀释法和 16S rRNA 测序来检测菌株 YX6 在小麦根表面的定殖情况. 由表 1可知, CK 和 Cd 处理组中肠杆菌属菌株的数量都在 100 CFU·g<sup>-1</sup>以下,而 YX6 和 YX6 + Cd 处理组中肠杆菌属菌株的数量都在35 000 CFU·g<sup>-1</sup>以上. 这表明菌株 YX6 能够在小麦根表面大量地定殖.

表 1 菌株 YX6 在小麦根表面的定殖数量 $^{1)}$ /CFU·g $^{-1}$ 

Table 1 Number of strain YX6 colonizing the wheat root surface/CFU·g<sup>-1</sup>

处理	CK	$\operatorname{Cd}$	YX6	YX6 + Cd
肠杆菌属菌株的数量	71 ± 12c	$58 \pm 14c$	42 571 ± 344a	$37.841 \pm 327 \mathrm{b}$

1) 数据为平均值 ± 标准差(n=3);同一行不同小写字母表示处理之间有显著差异(P<0.05)

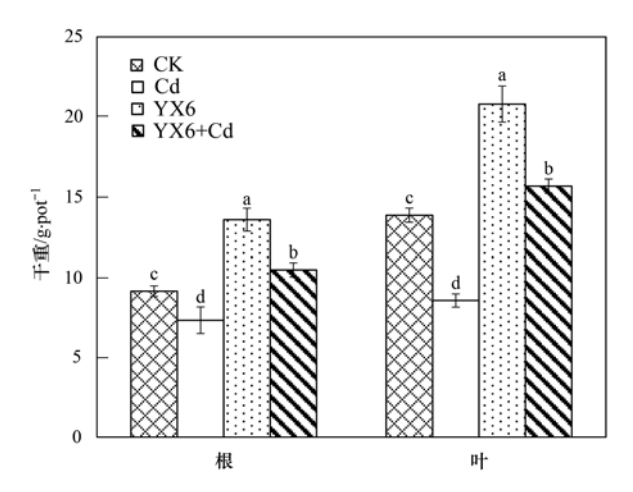
#### 2.2 不同处理对小麦干重的影响

图 1 显示了 Cd、YX6 和 YX6 + Cd 处理对小麦生长的影响. 对照处理组中小麦根的干重为 9.14 g·pot<sup>-1</sup>,小麦茎叶的干重为 13.83 g·pot<sup>-1</sup>.与对照相比,Cd 处理抑制了小麦的生长,显著降低了小麦根(19.81%)和叶片(38.15%)的干重. 菌株 YX6显著提高了小麦根(48.36%)和叶片(50.01%)的干重. 菌株 YX6 + Cd 则显著提高了小麦根

(14.44%)和叶片(13.08%)的干重.此外,与 Cd 处理相比, YX6 + Cd 处理显著增加了小麦根系(42.71%)和叶片(82.83%)的干重,表明菌株 YX6在 Cd 胁迫下仍能促进小麦生长.

#### 2.3 不同处理对小麦各组织 Cd 吸收的影响

在未添加 Cd 的处理下, CK 处理组中小麦根的  $\omega$  (Cd) 为 0.04 mg·kg<sup>-1</sup>, YX6 处理组中小麦根的  $\omega$  (Cd) 为0.03 mg·kg<sup>-1</sup>, Cd含量均非常低.而在小



同一小麦组织不同小写字母表示处理之间有显著差异(P<0.05)

#### 图 1 不同处理对小麦各组织干重的影响

Fig. 1 Effects of different treatments on the dry weight of wheat roots and leaves

麦叶中未检测到 Cd 含量. 在 3 mg·L<sup>-1</sup> Cd 胁迫下, 小麦根和叶中 $\omega$ (Cd)分别为 2. 43 mg·kg<sup>-1</sup>和 1. 14 mg·kg<sup>-1</sup>,而菌株 YX6 的接种则显著降低了小麦根 (48. 56%)和叶(61. 41%)中的 Cd 含量(表 2),说 明水培条件下菌株 YX6 具有阻控小麦对 Cd 吸收的能力. 此外,与无菌株的对照相比,菌株 YX6 显著降低了小麦根(26. 59%)和叶片(29. 43%)吸收的 Cd 总量.

#### 2.4 不同处理对小麦根和叶抗氧化酶活性的影响

植物中的抗氧化酶是抵抗外界胁迫的重要物质,能够保护植物组织在逆境胁迫下正常生长. 选取 SOD 和 POD 作为代表探究菌株 YX6 的接种对小麦根部抗氧化酶活性的影响,结果如图 2 所示. 对照组小麦根的 SOD 酶活为 364 U·g<sup>-1</sup>, POD 的酶活为 7.22 U·g<sup>-1</sup>, Cd的添加则显著提高了小麦根SOD

表 2 不同处理对小麦 Cd 吸收的影响<sup>1)</sup>

Table 2 Effects of different treatments on Cd uptake by wheat

处理	ск 🥒	Cd	YX6	YX6 + Cd
小麦根 ω(Cd)/mg·kg <sup>-1</sup>	0. 03 ± 0. 02c	2. 43 ± 0. 32a	0. 02 ± 0. 01 c	1. 25 ±0. 17b
小麦叶 ω(Cd)/mg·kg <sup>-1</sup>	/ E (S	1. 14 ± 0. 12a	/ · ) ( = 1\)	$0.44 \pm 0.03b$
小麦根 Cd 吸收量/µg·pot -1	$0.33 \pm 0.02c$	17. 81 ± 0. 82a	$0.36 \pm 0.03c$	13. $07 \pm 0.74$ b
小麦叶 Cd 吸收量/μg·pot -1	( H)/12/1	9. 75 ± 0. 42a	11 8 3	6. 88 ± 0. 35b

1)数值为平均值  $\pm$  标准偏差 (n=3); "一"表示未检测到数值;同一行不同小写字母表示处理之间有显著差异 (P<0.05)

(47.80%)和 POD 的酶活(144%),表明小麦根在遭受到 Cd 胁迫时,会进行自我调节,提高 SOD 和POD 的活性.而菌株 YX6 的接种对小麦根 SOD 和POD 的酶活无显著影响.与单独 Cd 胁迫相比,Cd 胁迫下接种菌株 YX6 显著降低了 SOD(19.15%)和POD(32.96%)的酶活,表明菌株 YX6 的接种降低了 Cd 对小麦造成的压力,缓解了 Cd 毒害,从而使小麦无需再额外表达过量的抗氧化酶.同样的对于小麦叶来说,与 CK 处理相比,Cd 的添加则显著提高了 SOD(59.15%)和 POD(79.59%)的酶活.而与单独 Cd 胁迫相比,Cd 胁迫下菌株 YX6 的接种显著降低了 SOD(26.74%)和 POD(25.01%)的酶活.

#### 2.5 不同处理对小麦组织多胺含量的影响

菌株 YX6 具有分泌精胺和亚精胺的能力,因此会对小麦根和叶内多胺(腐胺 + 精胺 + 亚精胺)的含量造成一定的影响. 由图 3 可知,对照组小麦根的 $\omega$ (多胺)为 38. 42 mg·kg<sup>-1</sup>,叶的 $\omega$ (多胺)为 18. 38 mg·kg<sup>-1</sup>. Cd 的添加对小麦根和叶的多胺含量无显著影响,而菌株 YX6 的接种则显著提高了小麦根(104%)和叶(169%)多胺的含量. 此外,与单独接种 YX6 相比,Cd 胁迫下,菌株 YX6 的接种也显著提高了小麦根(32.01%)和叶(35.27%)多胺的含量. 多胺既是一种促生物质,可以促进小麦的生长,也是

一种抗氧化物质,可缓解 Cd 对小麦的毒害. 菌株 YX6 通过分泌多胺,促进了小麦的生长,提高了小麦抗 Cd 的能力.

#### 2.6 Cd 在小麦根系中的亚细胞分布

YX6 和 YX6 + Cd 处理对 Cd 在小麦根系不同组织(细胞壁、细胞器和可溶性部分)中分布的影响如图 4 所示. 在 3 mg·L<sup>-1</sup> Cd 胁迫下,小麦根细胞壁、细胞器和可溶性部分 Cd 的比例分别为 26.63%、51.64%和 22.45%. 而与单独 Cd 处理相比,菌株YX6 的接种显著降低了小麦根细胞器(20.04%)和可溶性部分(39.33%)中 Cd 的比例,显著增加了小麦根系细胞壁(69.92%)中 Cd 的比例. 这说明菌株YX6 能增加 Cd 在小麦根细胞壁中的积累,从而抑制 Cd 从根外向根内的转运. 此外,菌株 YX6 在根系表面吸附了大量的 Cd,从而进一步阻止了其他 Cd 进入根内.

#### 2.7 不同处理对小麦根蛋白质表达的影响

采用无标记蛋白质组学方法鉴定了不同处理下的小麦根的蛋白质表达情况,并鉴定筛选了一些差异表达蛋白(differentially expressed proteins, DEPs). 分析共分为3组:A组,Cd处理组/对照组(Cd/CK);B组,菌株YX6+Cd处理组/对照组(YX6+Cd/CK);C组,菌株YX6+Cd处理组/Cd处理组

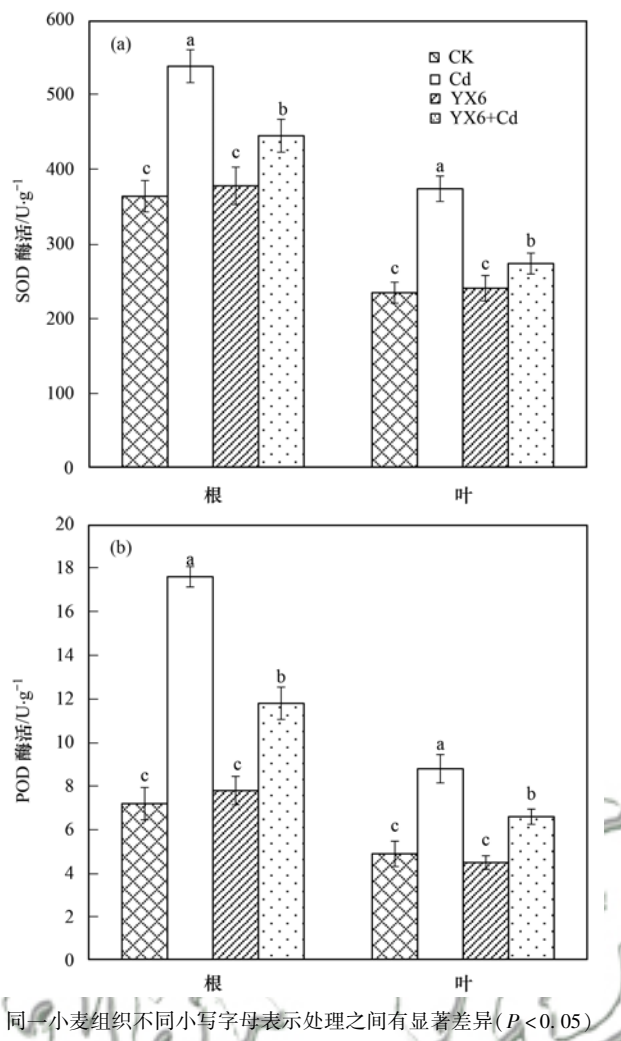
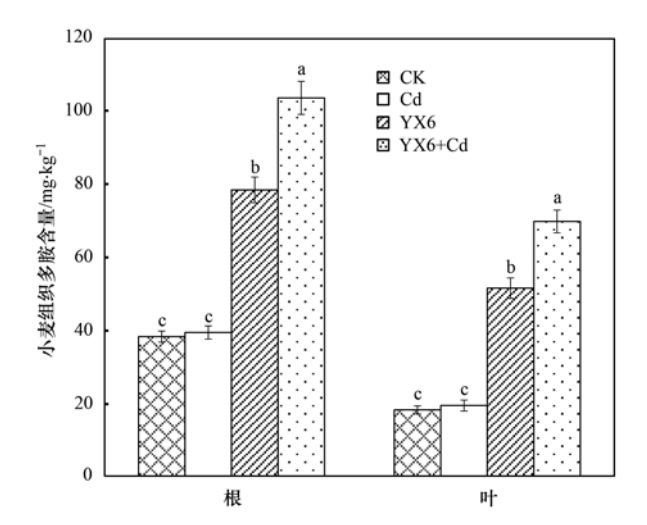


图 2 不同处理对小麦 SOD 和 POD 酶活的影响

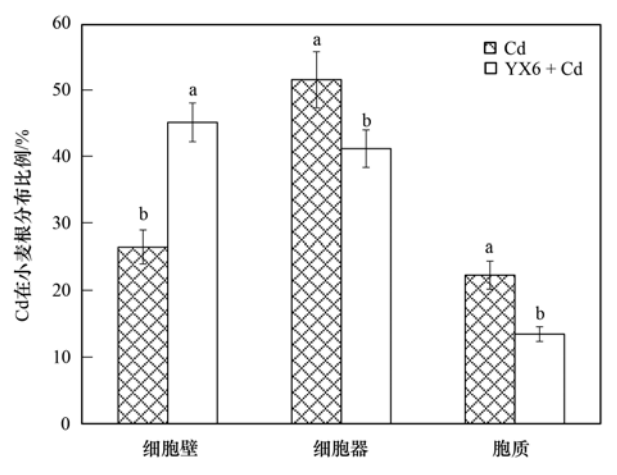
Effects of different treatments on SOD and POD activities in wheat



同一小麦组织不同小写字母表示处理之间有显著差异(P<0.05) 图 3 不同处理中小麦组织多胺含量

Fig. 3 Polyamine content of wheat tissue in different treatments

(YX6+Cd/Cd),结果如图 5 所示. A、B 和 C 组中 分别有 132、165 和 112 个 DEPs. 在 A 组中,87 个 DEPs 被上调表达,45 个 DEPs 被下调表达. 在 B 组



不同小写字母表示处理之间有显著差异(P<0.05)

#### 图 4 Cd 在小麦根中亚细胞的分布比例

Fig. 4 Distribution proportion of Cd at the subcellular level in wheat roots

中,102个 DEPs 被上调表达,63个 DEPs 被下调表 达. 在 C 组中,72 个 DEPs 被上调表达,40 个 DEPs 被下调表达. 对这些 DEPs 进行功能注释 (Gene ontology functional annotation, GO), 所有 DEPs 的功 能共分为三类: 生物过程(biological processes)、细 胞成分(cellular components)和分子功能(molecular functions)(图5). 在生物过程中,A、B和C组的 DEPs 主要参与细胞过程、刺激反应和生物调节. 其 中,重点是对外界胁迫的差异蛋白,主要涉及氧化还 原酶活性蛋白、谷胱甘肽 S-转移酶活性蛋白和金属 硫蛋白(具有重金属结合活性的4B蛋白)等被上调 表达. 在细胞成分中, A、B和C组的DEPs主要参 与细胞部分、细胞器、细胞器部件和含蛋白质复合 物和膜部分. 在分子功能方面, A、B和C组的DEPs 主要参与抗氧化活性、催化活性、结合锚定和转运 活性.

#### 2.8 差异蛋白的 GO 富集分析

基于所有已鉴定蛋白质的背景,在 https:// www. uniprot. org/上输入每个 DEPs 的登录号,进行 查找每个 DEPs 的功能,同时对其 Go 富集条目进行 分析,找出P < 0.05的富集条目,结果如表3所示. 对 A 组(Cd/CK)的 DEPs 进行差异条目富集分析, P<0.05条件下共有3个显著富集条目,主要包括 外封装结构(external encapsulating structure)、过氧 化物酶活性(peroxidase activity)和氧化还原酶活性 (oxidoreductase activity). 通过查询这些 DEPs 的分 子功能,主要涉及清除H,O,和应对环境胁迫,如氧化 应激、FMN结合、氧化还原酶活性、过氧化物酶活 性、电子转移活性、铁硫簇结合. 这一结果表明, Cd 胁迫会刺激小麦根产生更多的抗氧化酶等,增强小 麦抗 Cd 胁迫的能力. 对 B 组 (YX6 + Cd/CK)的

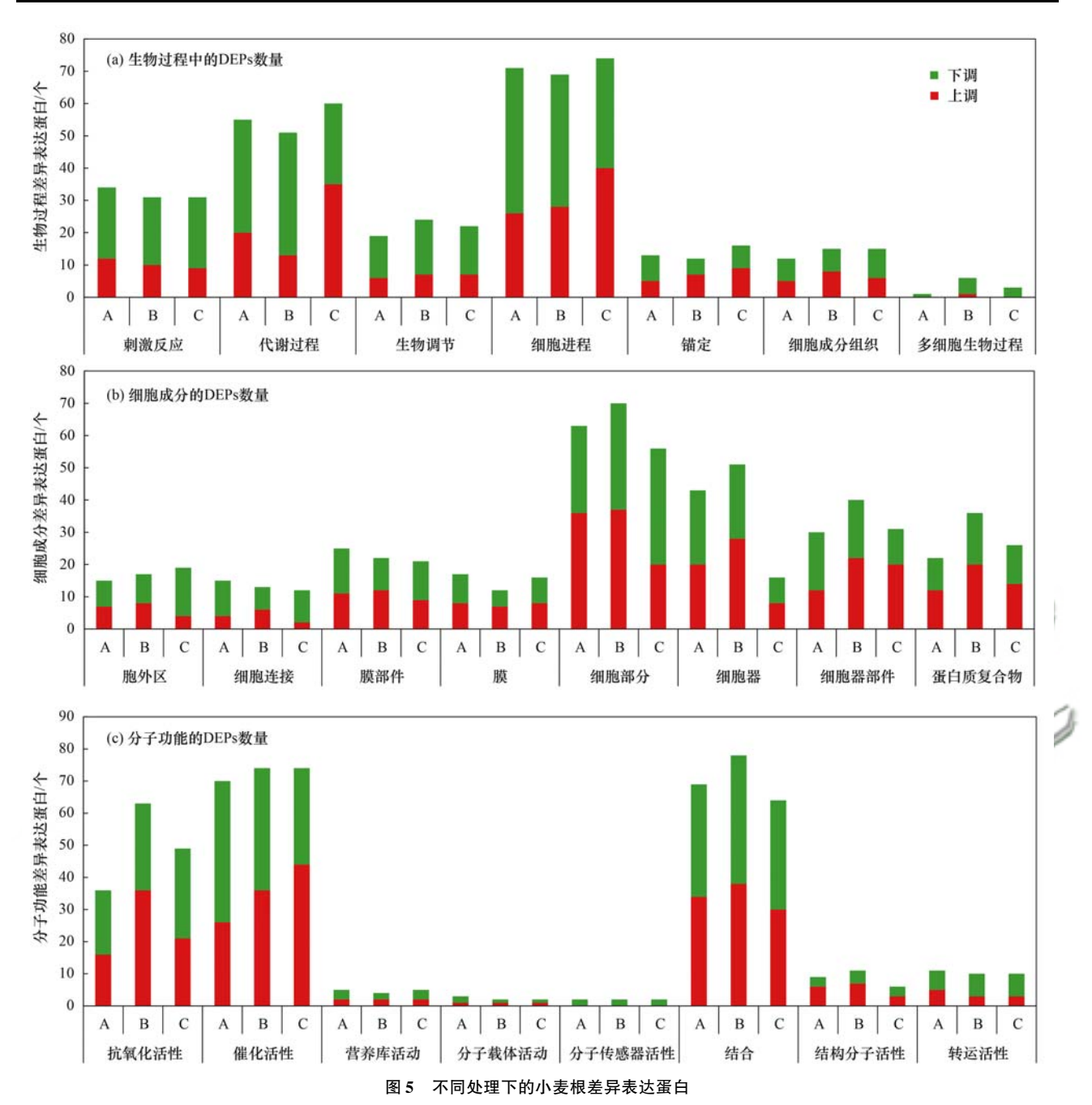


Fig. 5 Differentially expressed proteins in wheat roots under different treatments

DEPs 进行差异条目富集分析,P < 0.05 条件下共有 3 个显著富集条目,主要包括蛋白质-DNA 复合物(protein-DNA complex)、DNA 包装复合物(DNA packaging complex)和转移酶活性(transferase activity). 这些 DEPs 的功能主要与 DNA 结合、蛋白质异源二聚体活性、ATP 结合、转移酶活性和金属离子结合有关. 结果表明,与空白对照相比,Cd 胁迫下,菌株 YX6 保护了小麦根系的 DNA 免受损伤,提高了 DNA 复制和蛋白质翻译水平,从而提高了小麦根系的活力. 对 C 组(YX6 + Cd/Cd)的 DEPs 进行差异条目富集分析,P < 0.05 条件下共有 5 个显著富集条目,分别为蛋白质-DNA 复合物、DNA 包装复合物、细胞间转运(intercellular transport)、过氧化

物酶活性和转移酶活性. 这说明在 Cd 胁迫下,菌株 YX6 增加了小麦根系中 DNA 修复、抗氧化酶相关 蛋白的表达,从而提高了小麦对 Cd 的抗性和耐 受性.

#### 2.9 差异蛋白的代谢通路分析

对差异蛋白进行代谢通路(Kyoto encyclopedia of genes and genomes, KEGG) 富集分析,筛选 P < 0.05 的富集代谢条目,结果如表 4 所示. A 组有 4 条显著富集的代谢途径:矿物质吸收、次生代谢物的生物合成、谷胱甘肽代谢和糖酵解/糖异生. 这说明小麦根通过谷胱甘肽会上调表达,以此应对 Cd的胁迫. 同时也会消耗更多的能量,来抵抗 Cd 的胁迫. B 组有 3 条显著富集的代谢途径:α-亚麻酸代

#### 表 3 小麦根的差异蛋白的显著性富集条目分析1)

Table 3	Analysis	of	significant	enrichment	items	of	DEPs	in	wheat re	oots
---------	----------	----	-------------	------------	-------	----	------	----	----------	------

处理	差异蛋白登陆号(部分)	分子功能	富集条目	ID 号	P 值
A 组 Cd/CK	A0A3B5XVI4、A0A3B5ZQ34 和 A0A3B6B5B2	$H_2O_2$ 的去除;有毒还原剂的氧化;对环境应激的反应,如创伤和氧化应激	外部封装结构	GO:0030312	0. 001 889
	A0A3B6CCM3、A0A3B6HTP4和 A0A3B6IZ67	去除过氧化氢;有毒还原剂的氧化; 木质素的生物合成和降解、木栓化和 生长素分解代谢	过氧化物酶活性	GO:0004601	0. 013 825
	A0A1D5UTZ2、A0A1D5YYZ5 和 A0A3B5XVI4	FMN 结合; NAD(P) H 脱氢酶(醌)活性; 电子转移活性; 铁硫簇结合; $H_2O_2$ 的去除	氧化还原酶活性	GO:0016491	0. 025 062
	A0A3B6DFK7 和 A0A3B6EEW7	DNA 结合;蛋白质异源二聚体活性	蛋白质-DNA 复合物	GO:0032993	0. 005 474
B组	A0A3B6DFK7 和 A0A3B6JK95	DNA 结合;蛋白质异源二聚体活性	DNA 包装复合物	GO:0044815	0. 005 474
YX6 + Cd/CK	A0A1D6B308 和 A0A3B5XZ71	TP 结合;金属离子结合;蛋氨酸腺苷 转移酶活性	转移酶活性	GO:0016740	0. 019 39
	A0A1D5YKH2 和 A0A3B6DFK7	DNA 结合;蛋白质异源二聚体活性	蛋白质-DNA 复合物	GO:0032993	0.000856
	A0A1D5YKH2 和 A0A3B6DFK7	DNA 结合;蛋白质异源二聚体活性	DNA 包装复合物	GO:0044815	0.000856
	A0A3B6GPM2 和 A0A3B6PRZ5	营养库活性; 锰离子结合	细胞间转运	GO:0010496	0. 012 662
C 组 YX6 + Cd/Cd	A0A3B5XVI4 和 A0A3B5XWG5	去除过氧化氢;有毒还原剂的氧化; 木质素的生物合成和降解、木栓化和 生长素分解代谢	过氧化物酶活性	GO:0004601	0. 020 641
	A0A3B5XZ71、A0A3B5ZY48 和 A0A3B6KAT3	锌离子结合;铁硫簇结合金属离子结合;谷胱甘肽转移酶活性	转移酶活性	GO:0016740	0. 032 413

<sup>1)</sup> P < 0.05,表示差异蛋白的表达量具有显著差异

谢、细胞色素 P450 对外源性物质的代谢和植物激素信号转导. C 组有 5 条显著富集的代谢途径;次生代谢物的生物合成、苯丙烷生物合成、α-亚麻酸代谢、植物激素信号转导和谷胱甘肽代谢. 值得注意的是,在含有菌株 YX6 的处理组中,均有 α-亚麻酸代谢和植物激素信号转导途径,而这两条途径均与缓解小麦 Cd 胁迫密切相关. Cd 胁迫下,菌株 YX6 增

加了 12-氧代二烯酸还原酶和 4-香豆酸辅酶 A 连接酶 4 的表达量,这两种酶分别催化 12-氧代二烯酸转化为 OPC8 和 OPC8 辅酶 A,表明菌株 YX6 可使小麦根系合成更多的茉莉酸. 此外,在 Cd 胁迫下,菌株 YX6 还上调表达了 ABA 转运蛋白合成基因 PYP/PYL 1.78 倍. 这些结果表明,菌株 YX6 提高了小麦根系的激素水平,增强了小麦根系对 Cd 的抗性.

表 4 各个处理组差异蛋白的代谢通路分析的显著富集条目1)

Table 4	Significantly enriched	pathways of the	DEPs based on KEG	G analysis in each treatment
---------	------------------------	-----------------	-------------------	------------------------------

处理	KEGG 代谢通路	通路 ID 号	具有通路注释的差异蛋白数	P 值
	矿物质吸收	map04978	3	0. 000 607
A 组	次生代谢物的生物合成	map01110	43	0. 000 966
Cd/CK	谷胱甘肽代谢	map00480	10	0. 047 849
	糖酵解/糖异生	map00010	10	0. 049 045
D 40	α-亚麻酸代谢	map00592	6	0. 023 914
B 组 YX6 + Cd/CK	细胞色素 P450 对外源性物质的代谢	map00980	10	0. 029 14
170 T Gu/ GK	植物激素信号转导	map04075	3	0. 045 931
	次生代谢物的生物合成	map01110	35	0. 000 912
C 44	苯丙烷生物合成	map00940	16	0. 001 042
C 组 YX6 + Cd/Cd	α-亚麻酸代谢	map00592	5	0. 035 741
1760 + Gu/ Gu	植物激素信号转导	map04075	2	0. 041 543
	谷胱甘肽代谢	map00480	8	0. 043 567

1) P < 0.05,表示代谢通路具有显著差异

#### 2.10 荧光定量 PCR 验证

采用荧光定量 PCR 技术,选择 OPR 和 tauGST 两个基因的表达量验证蛋白质组学的准确性. 结果表明,YX6+Cd 处理组的 OPR 基因表达水平比 Cd 治疗组高 1.79 倍,YX6+Cd 处理组的 tauGST 基因表达水平比 Cd 治疗组高 0.74 倍. 而在蛋白质组学中,与对照相比,YX6+Cd 处理组中茉莉酸生物合

成相关酶和谷胱甘肽 S-转移酶的表达量也分别上 调表达 1.21 倍和 0.58 倍. 总的来说,基因和蛋白质 表达的趋势是相似的.

#### 3 讨论

3.1 多胺促进小麦生长和消减小麦 Cd 吸收 水培试验结果表明,小麦根和叶片在含有 3 mg·L-1Cd 的溶液中吸收了大量 Cd,而产多胺细菌 YX6 的接种可以降低小麦根和叶片中 Cd 的含量, 表明菌株 YX6 可以作为重金属钝化剂,阻控小麦对 Cd 的吸收,确保 Cd 污染条件下小麦的安全生产. 作 为一种优良的重金属钝化剂,重金属固定植物促生 细菌已被证明能抑制小麦和水稻等作物对重金属的 吸收<sup>[24~26]</sup>. 有研究分离到 1 株 Cd 抗性菌株 Pseudomonas sp. B7,在溶液中吸附去除 Cd 的效率 达到了 100%, 且具有阻控大白菜吸收 Cd 的能 力[27]. Cd 在小麦根中的分布表明,菌株 YX6 在小麦 根表面吸收了大量的 Cd,并诱导 Cd 在根的细胞表 面积累,从而阻止了 Cd 向根内的转运. 多胺是一类 具有较强生物活性的小分子脂肪族含氮碱,可以作 为"第二信使",参与植物胁迫的信号调控,从而缓 解逆境胁迫对植物的伤害<sup>[28,29]</sup>. YX6 和 YX6 + Cd 处理下的小麦各组织多胺含量高于对照组和 Cd 处 理组的,表明菌株 YX6 的接种能够提高小麦组织中 多胺的含量,以应对 Cd 胁迫,主要是因为菌株 YX6 能够分泌亚精胺和精胺,因此小麦吸收了更多的外 源亚精胺和精胺. Soudek 等[30]研究表明外源多胺可 以增强作物对重金属的抗性. Alzahrani 等[31]的研究 也表明外源喷施腐胺、亚精胺和精胺,能够提高小 麦对 Cd 的抗性和抑制小麦对 Cd 的吸收. 产多胺细 菌分泌的多胺能够被小麦吸收,因此提高了小麦根 和叶中多胺的含量. 但蛋白质组学数据中没有多胺 代谢相关蛋白的变化,主要是由于小麦吸收的外源 多胺直接参与调控了小麦根系蛋白质的表达(如上 调 DNA 修复和激素表达相关蛋白),可能没有涉及 小麦自身多胺的合成变化,所以小麦自身多胺合成 代谢相关的蛋白的表达没有变化. 此外,其他研究也 表明多胺可以通过多种途径缓解植物重金属毒害: ①作为抗氧化物质或者增强抗氧化系统缓解重金属 诱导的氧化胁迫. 例如, 多胺本身可以作为抗氧化物 质清除活性氧降低 Cd 和 Cu 对小麦的氧化损伤[32]; ②减少植物体内金属离子的积累. 例如,外源精胺和 亚精胺可以减少 Cd 吸收积累而缓解水稻 Cd 胁迫 损伤[33]; ③多胺还可以与油菜素内酯互作调控植 物激素代谢以及与抗性相关的基因表达,提高萝卜 对 Cu 胁迫的耐性[34]. 此外,本研究发现 Cd 胁迫下, 导致小麦根的 SOD、POD 酶活比 CK 处理显著提 高,而菌株 YX6 处理组小麦根的 SOD 和 POD 酶活 与 CK 处理组小麦根的 SOD 和 POD 酶活相比无显 著差异,主要是因为小麦根在遭受到 Cd 胁迫时,会 进行自我调节,提高自身 SOD 和 POD 的活性,进而 抵抗外源 Cd 的胁迫. 而 YX6 细菌处理后,由于 YX6 一方面会阻控 Cd 进入到小麦根内,降低了小麦受

到 Cd 的毒害. 另一方面 YX6 能够分泌多胺,植物吸收了外源的多胺后,也能够抵抗 Cd 的胁迫. 此时也就不再需要小麦自身 SOD 和 POD 活性的提高.

**3.2** Cd 胁迫下产多胺细菌调控小麦根与 DNA 修 复和激素产生的相关蛋白的表达

非标定蛋白质组学显示 Cd 胁迫下菌株 YX6 提 高了小麦根中与 DNA 复制和植物激素产生相关的 蛋白质的表达,增强了小麦根系对 Cd 的抗性, KEGG 代谢途径分析表明,谷胱甘肽代谢、α-亚麻 酸代谢和植物激素信号转导显著丰富. 在重金属胁 迫下,植物中活性氧物种(O²-、・O²-、・OH 和 H<sub>2</sub>O<sub>2</sub>)的代谢平衡被破坏,导致活性氧的过度积 累[35,36]. 活性氧的积累会损害植物的 DNA,主要表 现为碱基变化、碱基错配、插入或缺失、嘧啶组合、 DNA 加合物、DNA 链断裂和甲基化损伤[37]. 植物 细胞受到 Cd 和 Pb 胁迫时, DNA 复制、蛋白质翻译 和错误折叠易发生,导致错误折叠的蛋白质占据空 间并浪费资源,严重影响植物的正常生理生化过程. 在菌株 YX6 存在下, 小麦根系中的蛋白质 DNA 复 合物和 DNA 包装复合物显著富集. 这表明菌株 YX6 通过调节 DNA 修复来抑制小麦对 Cd 的吸收. 在这 些胁迫下,植物细胞改变其过程以避免 DNA 损伤, 错误折叠的蛋白质必须被植物降解和运输. 因此,与 单独 Cd 处理相比,菌株 YX6 保护了小麦根系的 DNA 免受损伤,改善了 DNA 复制和蛋白质翻译,提 高了小麦根系的活力和抵御 Cd 胁迫的能力.

α-亚麻酸经过脂氧合酶途径可以生成茉莉酸和 茉莉酸甲酯. 作为信号传导物质, 茉莉酸和茉莉酸甲 酯参与植物的重金属和低温等逆境的抗逆反应[38]. 在植物应对重金属胁迫时, 茉莉酸和茉莉酸甲酯通 过提高抗氧化酶的活性和光合作用来促进作物生 长. 茉莉酸和茉莉酸甲酯也可以增加还原型谷胱甘 肽和抗坏血酸来缓解植物的重金属胁迫. 有研究指 出,外源茉莉酸甲酯可以诱导植物细胞防卫基因的 表达,缓解重金属对植物的损害[39]. 陈俊[40]以秋茄 幼苗为研究对象,对 Cd 胁迫下的秋茄幼苗使用茉 莉酸甲酯并分时间段采样,测量叶绿素含量、丙二 醛和抗氧化物质含量等指标,结果显示茉莉酸甲酯 可以有效缓解 Cd 对秋茄生长的抑制. Chen 等[41]研 究发现施加 10 μmol·L<sup>-1</sup> 茉莉酸甲酯和 100 μmol·L<sup>-1</sup>茉莉酸,可以有效降低植物组织内金属硫 蛋白的表达,减少重金属向地上部位的运输,从而有 效地缓解重金属的毒害作用. Cd 胁迫下,菌株 YX6 使小麦根内催化 OPC8 转化为 OPC8-CoA 的 4coumarate-CoA ligase-like 4 显著上调了 1.76 倍,说 明菌株 YX6 的接种促使小麦根生成更多的茉莉酸,

进而缓解了 Cd 的胁迫. 脱落酸( ABA) 能够提高植 物的抗逆性的作用早已引起人们的关注. ABA 在植 物体内属于含量少但作用巨大的一种激素,逆境胁 迫时,ABA浓度会升高并诱导植物体代谢过程发生 变化,起到抵抗逆境的作用[42]. 在本研究中,菌株 YX6 能够使 ABA 转运基因 PYP/PYL 的表达显著上 调 1.68 倍,提高了小麦对 Cd 的抗性. Hsu 等<sup>[43]</sup> 研 究发现 Cd 胁迫下,与 Cd 敏感品种水稻相比,耐 Cd 水稻根部中 ABA 的含量显著増加,说明 ABA 在植 物耐 Cd 胁迫中发挥一定作用. ABA 可以通过调控 植物的抗氧化系统来抵抗 Cd 的胁迫. Li 等[44] 指出 绿豆在 Cd 处理下其体内的 GSH 的含量显著下降, 但是添加 ABA 之后,绿豆体内的 GSH 含量能够显 著提高. 说明 ABA 能够调控 Cd 胁迫下由 ROS 积累 引起的氧化应激. 此外 ABA 也可通过调控植物整合 肽的合成和调节维持植物水分平衡,从而帮助植物 适应 Cd 胁迫[45,46].

#### 4 结论

- (1) 水培试验表明与单独 Cd 处理相比, Cd 胁迫下产多胺细菌 Enterobacter bugandensis YX6 的接种显著提高了小麦根和叶片中多胺的含量,降低了小麦根和叶中 Cd 的含量.
- (2) 与单独 Cd 处理相比, YX6 + Cd 处理显著降低了小麦根细胞器中和可溶性部分中 Cd 的比例,增加了小麦根系细胞壁中 Cd 的比例.
- (3)在 Cd 胁迫下,菌株 YX6 的接种提高了小麦根系中与 DNA 修复和激素(脱落酸和茉莉酸)合成相关蛋白的表达,进而提高了小麦对 Cd 的抗性和耐受性.

#### 参考文献:

- [1] 崔祥芬,张琴,田森林,等.中国稻田土壤镉污染及务农性 暴露概率风险[J].中国环境科学,2021,41(8):3878-3886.
  - Cui X F, Zhang Q, Tian S L, et al. Status of paddy soil Cd pollution and probabilistic health risk via agricultural contact in China[J]. China Environmental Science, 2021, 41(8): 3878-
- [2] 彭瑜, 王海娟, 王宏镔. 农田土壤砷、镉协同钝化修复的研究进展[J]. 土壤, 2021, 53(4): 692-699.
  Peng Y, Wang H J, Wang H B. Advances in synergistic passivation remediation of arsenic and cadmium in farmland soil [J]. Soils, 2021, 53(4): 692-699.
- [ 3 ] Ren S Y, Song C Q, Ye S J, et al. The spatiotemporal variation in heavy metals in China's farmland soil over the past 20 years; a meta-analysis [ J ]. Science of the Total Environment, 2022, 806, doi: 10.1016/j. scitotenv. 2021. 150322.
- [4] 孟晓飞,郭俊娒,杨俊兴,等.河南省典型工业区周边农田土壤重金属分布特征及风险评价[J].环境科学,2021,42(2):900-908.
  - Meng X F, Guo J M, Li R H, et al. Spatial distribution and risk

- assessment of heavy metal pollution in farmland soils surrounding a typical industrial area of Henan province  $[\ J\ ]$ . Environmental Science, 2021, 42(2): 900-908.
- [5] 秦宁,阿依博塔·吐尔逊别克,刘运炜,等.中国居民饮用水镉暴露非致癌风险的年龄分层权重[J].环境科学,2022,43(4):1863-1872.
  - Qin N, Ayibota T, Liu Y W, Non-carcinogenic risk assessment of cadmium exposure through drinking water in Chinese residents based on age-stratification weight [J]. Environmental Science, 2022, 43(4): 1863-1872.
- [6] 管伟豆, 肖然, 李荣华, 等. 土壤镉污染北方小麦生产阈值及产区划分初探[J]. 农业环境科学学报, 2021, **40**(5): 969-977.
  - Guan W D, Xiao R, Li R H, et al. Investigations on the derivation of a safe wheat-producing threshold of soil Cd content and classification of Cd contaminated wheat-producing areas in northern China[J]. Journal of Agro-Environment Science, 2021, 40(5): 969-977.
- [7] Wang Y L, Xing W Q, Liang, X F, et al. Effects of exogenous additives on wheat Cd accumulation, soil Cd availability and physicochemical properties in Cd-contaminated agricultural soils: a meta-analysis [J]. Science of the Total Environment, 2022, 808, doi: 10.1016/j. scitotenv. 2021. 152090.
- [8] 任超,任彧仲,王浩,等. 镉胁迫下不同小麦品种对镉的积累特性[J]. 环境科学, 2022, 43(3): 1606-1619.

  Ren C, Ren Y Z, Wang H, et al. Cadmium accumulation characteristics of different heat varieties under cadmium stress [J]. Environmental Science, 2022, 43(3): 1606-1619.
- [9] 赵娜娜, 彭鸥, 刘玉玲, 等. 不同形态硫叶面喷施对水稻镉积累影响[J]. 农业环境科学学报, 2021, **40**(7): 1387-1401.

  Zhao N N, Peng O, Liu Y L, et al. Effect of foliar spraying different forms of sulfur on cadmium accumulation in rice[J].

  Journal of Agro-Environment Science, 2021, **40**(7): 1387-
- [10] Haider F U, Wang X K, Farooq M, et al. Biochar application for the remediation of trace metals in contaminated soils; implications for stress tolerance and crop production [J]. Ecotoxicology and Environmental Safety, 2022, 230, doi: 10. 1016/j. ecoenv. 2022. 113165.
- [11] 张雅荟, 刘月敏, 王常荣, 等. 伯克氏菌 Y4 对水稻幼苗镉损伤和镉吸收的影响[J]. 环境科学, 2022, 43(4): 2142-2150.

  Zhang Y H, Liu Y M, Wang C R, et al. Effects of Burkholderia sp. Y4 on cadmium damage and uptake in rice seedlings[J].

  Environmental Science, 2022, 43(4): 2142-2150.
- [12] 杨忠蓝,曾希柏,孙本华,等. 铁氧化物固定土壤重金属的研究进展[J]. 土壤通报,2021,52(3):728-735.

  Yang Z L, Zeng X B, Sun B H, et al. Research advances on the fixation of soil heavy metals by iron oxide[J]. Chinese Journal of Soil Science, 2021,52(3):728-735.
- [13] 韩辉, 王晓宇, 蔡红, 等. 重金属固定植物促生细菌的筛选及其阻控小麦富集重金属效应[J]. 环境科学, 2019, 40 (7): 3339-3346.
  - Han H, Wang X Y, Cai H, et al. Isolation of heavy metal immobilizing and plant growth-promoting bacteria and its effects on reducing heavy metal accumulation in wheat  $[\ J\ ]$ . Environmental Science, 2019, 40(7): 3339-3346.
- [14] Qiao S Y, Zeng G Q, Wang X T, et al. Multiple heavy metals immobilization based on microbially induced carbonate precipitation by ureolytic bacteria and the precipitation patterns exploration [J]. Chemosphere, 2021, 274, doi: 10.1016/j.

- chemosphere. 2021. 129661.
- [15] Wang Y, Li Z H, Wu J J, et al. Abscisic acid-catabolizing bacteria; a useful tool for enhancing phytoremediation [J]. Science of the Total Environment, 2022, 812, doi: 10.1016/j. scitotenv. 2021. 151474.
- [16] Tirry N, Tahri Joutey N, Sayel H, et al. Screening of plant growth promoting traits in heavy metals resistant bacteria; prospects in phytoremediation [J]. Journal of Genetic Engineering and Biotechnology, 2018, 16(2): 613-619.
- [17] Chakdar H, Thapa S, Srivastava A, et al. Genomic and proteomic insights into the heavy metal bioremediation by cyanobacteria [J]. Journal of Hazardous Materials, 2022, 424, doi: 10.1016/j.jhazmat.2021.127609.
- [18] Zhang W H, He L Y, Wang Q, et al. Inoculation with endophytic Bacillus megaterium 1Y31 increases Mn accumulation and induces the growth and energy metabolism-related differentially-expressed proteome in Mn hyperaccumulator hybrid pennisetum[J]. Journal of Hazardous Materials, 2015, 300: 513-521.
- [19] Li K F, Pidatala V R, Shaik R, et al. Integrated metabolomic and proteomic approaches dissect the effect of metal-resistant bacteria on maize biomass and copper uptake [J]. Environmental Science & Technology, 2014, 48(2): 1184-1193.
- [20] 韩辉, 蔡红, 王晓宇, 等. 产多胺细菌阻控空心菜富集 Cd 和 Pb 效应[J]. 中国环境科学, 2020, 40(6): 2692-2699. Han H, Cai H, Wang X Y, et al. Screening of polyamine-producing bacteria and their effects on reducing Cd and Pb accumulation in Ipomoea aquatica [J]. China Environmental Science, 2020, 40(6): 2692-2699.
- [21] 林绍艳, 张芳, 徐颖洁. 植物中多胺含量超高效液相色谱法的建立[J]. 南京农业大学学报, 2016, **39**(3); 358-365.

  Lin S Y, Zhang F, Xu Y G. The establishment of UPLC method for measuring polyamines content in plants [J]. Journal of Nanjing Agricultural University, 2016, **39**(3); 358-365.
- [22] Wu Z P, McGrouther K, Chen D L, et al. Subcellular distribution of metals within Brassica chinensis L. in response to elevated lead and chromium stress[J]. Journal of Agricultural & Food Chemistry, 2013, 61(20): 4715-4722.
- [23] Fisher K A, Yarwood S A, James B R. Soil urease activity and bacterial ureC gene copy numbers: effect of pH[J]. Geoderma, 2017, 285: 1-8.
- [24] Pramanik K, Mandal S, Banerjee S, et al. Unraveling the heavy metal resistance and biocontrol potential of Pseudomonas sp. K32 strain facilitating rice seedling growth under Cd stress [J]. Chemosphere, 2021, 274, doi: 10.1016/j.chemosphere.2021. 129819.
- [25] Sharma P, Chaturvedi P, Chandra R, et al. Identification of heavy metals tolerant Brevundimonas sp. from rhizospheric zone of Saccharum munja L. and their efficacy in in-situ phytoremediation [J]. Chemosphere, 2022, 295, doi: 10.1016/ j. chemosphere. 2022. 133823.
- [26] 马莹, 王玥, 石孝均, 等. 植物促生菌在重金属生物修复中的作用机制及应用[J]. 环境科学, 2022, **43**(9): 4911-4922.
  - Ma Y, Wang Y, Shi X J, et al. Mechanism and application of plant growth-promoting bacteria in heavy metal bioremediation [J]. Environmental Science, 2022, 43(9): 4911-4922.
- [27] Wu S J, Zhou Z J, Zhu L, et al. Cd immobilization mechanisms in a Pseudomonas strain and its application in soil Cd remediation [J]. Journal of Hazardous Materials, 2022, 425, doi: 10. 1016/j. jhazmat. 2021. 127919.

- [28] Yang K X, Xi Z A, Zhang Y X, et al. Polyamine biosynthesis and distribution in different tissues of Agaricus bisporus during postharvest storage [J]. Scientia Horticulturae, 2020, 270, doi: 10.1016/j. scienta. 2020. 109457.
- [29] 张灵,陶亚军,方琳,等. 植物多胺的代谢与生理研究进展[J]. 植物生理学报,2020,56(10):2029-2039.

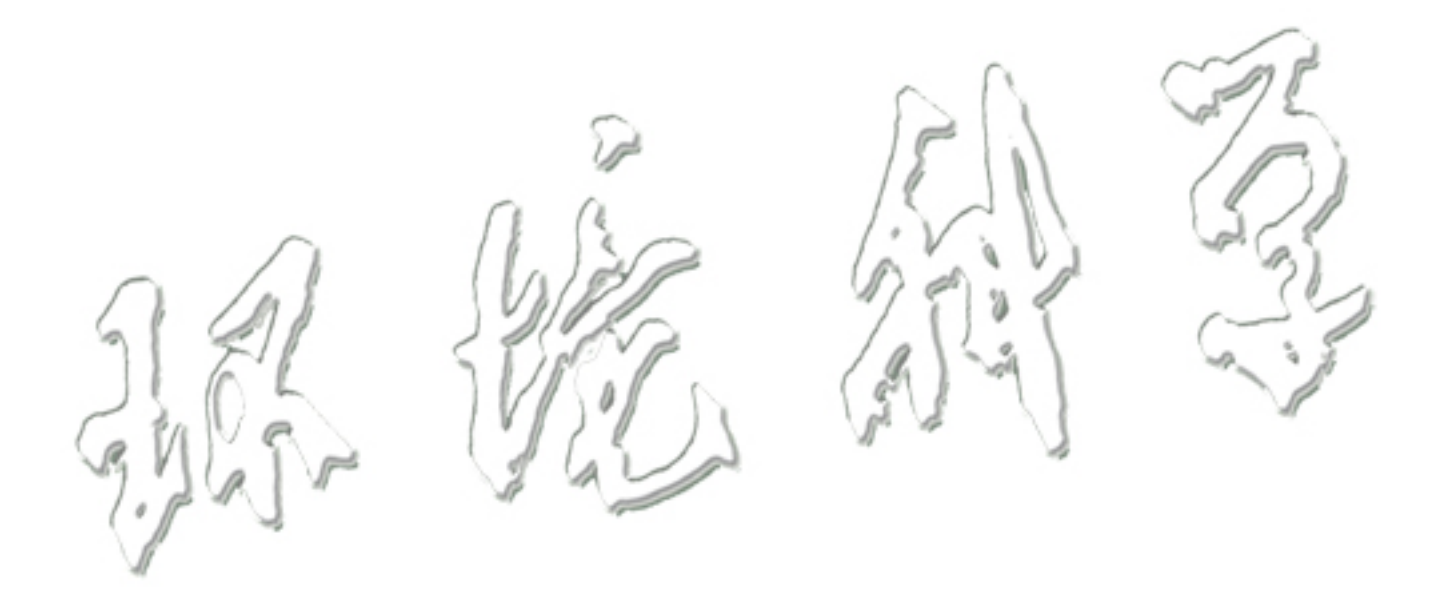
  Zhang L, Tao Y J, Fang L, et al. Metabolism and physiological function of polyamine in plants [J]. Plant Physiology Journal, 2020,56(10):2029-2039.
- [30] Soudek P, Ursu M, Petrová Š, et al. Improving crop tolerance to heavy metal stress by polyamine application [J]. Food Chemistry, 2016, 213: 223-229.
- [31] Alzahrani Y, Rady M M. Compared to antioxidants and polyamines, the role of maize grain-derived organic biostimulants in improving cadmium tolerance in wheat plants [J]. Ecotoxicology and Environmental Safety, 2019, 182, doi: 10. 1016/j. ecoenv. 2019. 109378.
- [32] Hsu Y T, Kao C H. Cadmium-induced oxidative damage in rice leaves is reduced by polyamines [J]. Plant and Soil, 2007, 291 (1-2): 27-37.
- [33] Groppa M D, Tomaro M L, Benavides M P. Polyamines and heavy metal stress: the antioxidant behavior of spermine in cadmium- and copper-treated wheat leaves [J]. BioMetals, 2007, 20(2): 185-195.
- [34] Choudhary S P, Bhardwaj R, Gupta B D, et al. Epibrassinolide induces changes in indole-3-acetic acid, abscisic acid and polyamine concentrations and enhances antioxidant potential of radish seedlings under copper stress[J]. Physiologia Plantarum, 2010, 140(3): 280-296.
- [35] 王若男, 乜兰春, 张双双, 等. 植物抗重金属胁迫研究进展[J]. 园艺学报, 2019, **46**(1): 157-170.

  Wang R N, Nie L C, Zhang S S, *et al.* Research progress on plant resistance to heavy metal stress [J]. Acta Horticulturae Sinica, 2019, **46**(1): 157-170.
- [36] Berni R, Luyckx M, Xu X, et al. Reactive oxygen species and heavy metal stress in plants: impact on the cell wall and secondary metabolism [J]. Environmental and Experimental Botany, 2019, 161: 98-106.
- [37] Song J L, Zou X Y, Liu P D, et al. Differential expressions and enzymatic properties of malate dehydrogenases in response to nutrient and metal stresses in *Stylosanthes guianensis* [J]. Plant Physiology and Biochemistry, 2022, 170: 325-337.
- [38] Kamran M, Wang D, Alhaithloul H A S, et al. Jasmonic acid-mediated enhanced regulation of oxidative, glyoxalase defense system and reduced chromium uptake contributes to alleviation of chromium (VI) toxicity in choysum (Brassica parachinensis L.)
  [J]. Ecotoxicology and Environmental Safety, 2021, 208, doi: 10.1016/j.ecoenv.2020.111758.
- [39] 鲜靖苹,王勇,张平. 外源茉莉酸甲酯对镉胁迫下多年生黑 麦草种子萌发及幼苗生理的影响[J]. 西北师范大学学报 (自然科学版),2019,55(6):74-82.
  - Xiao J P, Wang Y, Zhang P. Effects of exogenous methyl jasmonate on seed germination and physiological characteristics of *Loliumperenne* under cadmium stress [J]. Journal of Northwest Normal University (Natural Science), 2019, 55(6): 74-82.
- [40] 陈俊. 外源茉莉酸酮酯对红树幼苗重金属抗性的调控作用研究[D]. 上海: 华东师范大学, 2014.
  Chen J. Regulatory effect of exogenous jasmonates on heavy metal resistance of mangrove seedling [D]. Shanghai: East China
- [41] Chen J, Yan Z Z, Li X Z. Effect of methyl jasmonate on

Normal University, 2014.

- cadmium uptake and antioxidative capacity in *Kandelia obovata* seedlings under cadmium stress [ J ]. Ecotoxicology and Environmental Safety, 2014, **104**: 349-356.
- [42] Lu Q, Weng Y N, You Y, et al. Inoculation with abscisic acid (ABA)-catabolizing bacteria can improve phytoextraction of heavy metal in contaminated soil [J]. Environmental Pollution, 2020, 257, doi: 10.1016/j.envpol.2019.113497.
- [43] Hsu Y T, Kao C H. Role of abscisic acid in cadmium tolerance of rice ( *Oryza sativa* L. ) seedlings [ J ]. Plant, Cell and Environment, 2003, 26(6): 867-874.
- [44] Li S W, Leng Y, Feng L, et al. Involvement of abscisic acid in regulating antioxidative defense systems and IAA-oxidase activity and improving adventitious rooting in mung bean [Vigna radiata

- (L.) Wilczek ] seedlings under cadmium stress [ J ]. Environmental Science and Pollution Research, 2014, **21**(1): 525-537
- [45] Zehra A, Choudhary S, Wani K I, et al. Exogenous abscisic acid mediates ROS homeostasis and maintains glandular trichome to enhance artemisinin biosynthesis in Artemisia annua under copper toxicity [J]. Plant Physiology and Biochemistry, 2020, 156: 125-134.
- [46] 刘栋栋. 硫化氢与脱落酸缓解植物镉胁迫的机制研究[D]. 西安: 西北农林科技大学, 2021.
  - Liu D D. Mechanism of hydrogen sulfide and abscisic acid to alleviate cadmium stress in plants [D]. Xi'an; Northwest A&F University, 2021.



# **HUANJING KEXUE**

Environmental Science (monthly)

Vol. 43 No. 12 Dec. 15, 2022

### **CONTENTS**

Temporal and Spatial Evolution Pattern of PM <sub>2.5</sub> and its influencing factors in Guanzhong Plain Urban Agglomeration	
Linkage Effect and Nonlinear Impact of PM <sub>2.5</sub> Concentration Driving Factors in Central Plains Urban Agglomeration	
Analysis of Spatiotemporal Distribution Characteristics and Influencing Factors of $PM_{2.5}$ and $O_3$ in Changsha-Zhuzhou-Xiangtan Ur	ban Agglomeration, China ·····
	· LIU Xian-zhao, ZHANG Guo-qiao, YANG Wen-tao, et al. (5354)
Chemical Composition and Source Apportionment of PM <sub>2,5</sub> in Zhangye City	PAN Cheng-ke, HUANG Tao, GAO Hong, et al. (5367)
Pollution Characteristics and Health Risk Assessment of PM <sub>2.5</sub> Heavy Metals in Tianjin and Qingdao in Winter of 2018-2019 ·····	
Concentration, Solubility, and Sources of Metal Elements in Atmospheric Precipitation in Qingdao	
Trends of Ozone Pollution in Guanzhong Urban Agglomeration from 2015 to 2021	
Pollution Characteristics of Ozone and Its Precursors in Background Region of Hainan Province	
Identification of Ozone Formation Mechanism Long-term Spatio-temporal Evolutions in PRD Based on Two-dimensional Mutual Veri	ification · · · · · · · · · · · · · · · · · · ·
	YANG Lei-feng, XIE Dan-ping, YANG Jun, et al. (5421)
Characteristics and Source Apportionment of Ambient Summer Volatile Organic Compounds in Zhengzhou, China	
Summer Pollution Characteristics and Sources of Volatile Organic Compounds in Lanzhou	
Characteristics and Health Risk Assessment of VOCs in an Underground Parking Garage	
Chemical Characterizations of Particles from Direct-injection Gasoline Vehicles	
Scenario Simulation and Prediction of Greenhouse Gas Emissions from Incineration of Solid Waste	
Distribution, Sources, and Export of the (Sub-) Metal Elements in the Changjiang River	LIU Jia-ming, WU Wen-tao, LIU Xiao-tian, et al. (5478)
Analysis of Nitrogen and Phosphorus Pollution and Nitrogen Sources in the Lancang River	
Transformation Relationship of Groundwater and River Water in Riparian Wetland During Water and Sediment Regulation of Xiaola	
Hanssonnation relationship of Groundwater and rever water in rupanian wedard buting water and Secument regulation of Alaska	VIAO CI THI V. C. THAO T
Spatiotemporal Variation in Water Quality of Modaomen Waterway Conveyance Reservoir Drinking Water Sources	
Pollution Characteristics and Risk Assessment of PPCPs in Typical Drinking Water Sources in the Middle Reaches of the Yangtze I	River During the COVID-19 Pandemic
	··· FAN Yue-ting, CHANG Sheng, ZHANG Kun-feng, et al. (5522)
Pollution Characteristics and Risk Assessment of PAHs and PCBs in Surface Water and Sediments in Middle and Upper Reaches of	
Totalion characteristic and rick research of three and total in contact was and examined in strate and opportunities	
Hydrochemical Characteristics and Fluorine Distribution and Causes of Different Water Bodies in Pingshuo Mining Area	9. 9.
Characteristics of Dissolved Organic Matters and Their Influence on Labile Cadmium Release from Soils of Typical Water Level Flu	uctuation Zones of Three Gorges Reservoir
	········ ZHANG Bao-hao, WU Ya-zun, XU Dong-yu, et al. (5560)
Phosphorus Cycling in a Sediment-water System Controlled by Different Dissolved Oxygen Levels of Overlying Water	LIU Xiao-tian, LIU Jun, WANG Yi-bin, et al. (5571)
Water Quality Evolution Characteristics and Pollution Factor Analysis in Poyang Lake from 2011 to 2019	
Distribution and Risk Assessment on the Nutrients and Heavy Metals in Surface Sediments of Wuliangsuhai Lake	
Effect and Mechanism of Biochar Adsorption on Unbiodegradable Organic Nitrogen in Stormwater Runoff	
Phytoplankton Community Structures and Their Relationship with Environmental Factors in Rivers Supplied with Different Water Sci	
Adsorption of Typical Quinolone Antibiotics by Manganese Oxide-Modified Biochar Substrate and Its Application in CWs	······ GAO Hui-zi, TIAN Wei-jun, ZHANG Zi-yu, et al. (5627)
Effect of KOH Activation on the Properties of Biochar and Its Adsorption Behavior on Tetracycline Removal from an Aqueous Solut	tion XU Jin, MA Yi-fan, YAO Guo-ging, et al. (5635)
Preparation of Modified Attapulgite-supported Iron Sulfide and Its Adsorption Mechanism for Mo( VI)	
Removal of Cr(VI) from Water Using Green Synthesis Nanoscale Zero-Valent Iron Supported on Eucalyptus Biochar	
$Removal \ of \ Pb(\ II\ ) \ \ and \ Zn(\ II\ ) \ \ from \ Wastewater \ via \ \ Magnesium-Modified \ Diatomite \ Product \ Recovering \ Nitrogen \ and \ Phosphorus \ Product \$	
Adsorption of Methylene Blue on Sodium-Modified Bentonite from Southern Part of Henan	
Compound Pollution Characteristics and Ecological Risk Assessment of Heavy Metals in Soil and Groundwater of Typical Industrial	Lands in Shanghai
	LI Xiao-man, LI Qing-qing, YANG Jie, et al. (5687)
Pollution Evaluation and Quantitative Traceability Analysis of Heavy Metals in Farmland Soils Around the Gangue Heap of a Coal	
Tollution Evaluation and Quantitative fraccasinity Amarysis of freaty streams in Farinand Soils Around the Sangae freaty of a Cour	MAI: IHID: IHID: 4.4 (5400)
Species Distribution and Source Analysis of Heavy Metals in Surrounding Soil Around Typical Petroleum Sites	
Source Analysis of Heavy Metals in Farmland Soil Around a Waste Incineration Plant Based on PMF Model	ZHANG Tian-yu, HU Gong-ren, YU Rui-lian, et al. (5718)
Ecological and Health Risk Assessment of Heavy Metal Pollution in Farmland Soil of Xianghe County	······· CHEN Yu-jia, QU Xing-chen, ZHANG Bin, et al. (5728)
Comparison of the Concentrations, Sources, and Distributions of Heavy Metals in Topsoils of the Junction Zone of Geological Tector	onic Units: A Case Study in Chengkou County, China
Occurrence, Source Analysis, and Health Risks of Polycyclic Aromatic Hydrocarbons in Plants and Soils from Typical Areas of Xi	njiang, China
Effects of Strengthening Pennisetum purpureum Schumach with Fertilizer Application Strategy on Remediation of Severely Cadmium	-polluted Farmland ·····
	WU Gang-fan, ZHOU Hang, TANG Qi, et al. (5761)
Tobacco Stem Biochar and Phosphate Application Decrease Wheat Grain Cadmium Accumulation in Alkalescent Soils	
Polyamine-producing Bacteria Improve Cd Resistance and Reduce Uptake of Cd in Wheat	
Effect and Mechanism of Sulfate-Reducing Bacteria on the Passivation of Heavy Metals in Alkaline and Acidic Agricultural Soils ·	
Effects of Bacillus megaterium on Soil Physicochemical Properties and Its Effects on the Accumulation of Cd and Zn in Plant	WANG Ping, LI Yi-man, WANG Xue-jia, et al. (5798)
Soil Fungal Community Structure and Function Diversity of Different Land Use Types in the Waterfront Area Along the Jialing River	er ······ ZHU Lan-ping, XU Fei, WANG Jia-ying, et al. (5808)
Effect of Biochar Application on Biological Nitrogen Fixation in Double Cropping Paddy Field in Northern Hainan	
Photodegradation Behaviors and Toxicity Characteristics of Trimethoprim into Different Environmental Media with the Presence of g	
r nonouegradation denaviors and roxiety characteristics of rimethoprim into different environmental media with the Presence of g	703114
Analysis of Provincial CO <sub>2</sub> Emission Accounting in China Under the Carbon Peaking and Carbon Neutrality Goals	
Temporal and Spatial Differences in Carbon Conduction and Prediction Effect of Land Type Transfer in Chang-Zhu-Tan Urban Aggl	lomeration ······ YANG Xu, LIU Xian-zhao (5850)
Environmental Benefit Analysis of Municipal Solid Waste Typical Disposal Scenarios in Zhangijagang City Based on Classification	····· ZHANG Tao ZHENG Jun-wen SUN Yu-can et al. (5861)